

第4章 电磁波的反射和折射

4.1 平面波向理想导体界面上的垂直入射

4.2 平面波向理想介质界面上的垂直入射

4.3 斯涅耳定律和极化的概念

4.4 平面波向理想导体界面上的斜入射

4.5 平面波向理想介质界面上的斜入射

4.1 平面波向理想导体界面上的垂直入射

◆ 设媒质I是理想介质，媒质II是理想导体。由于理想导体内没有电磁场，所以当电磁波入射到理想导体表面时，必然全部反射回去。

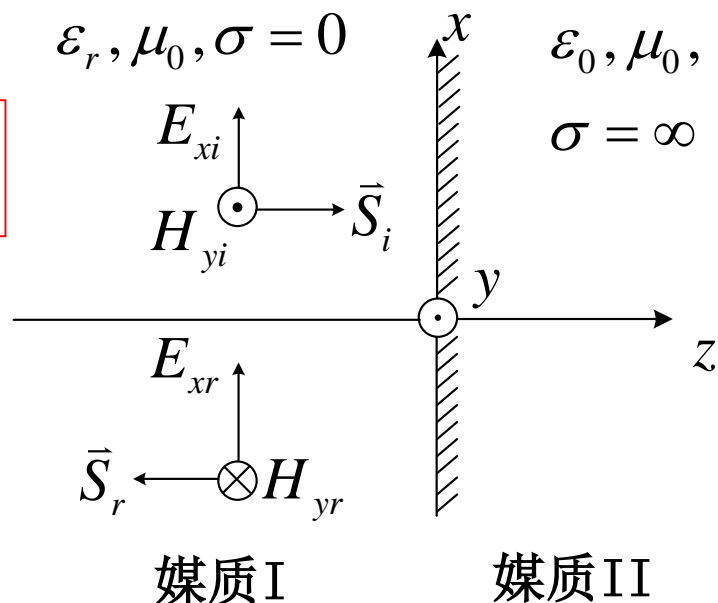
若设 $\vec{E}_i, \vec{H}_i, \vec{S}_i$ 分别为入射波电场、磁场和能流密度矢量, $\vec{E}_r, \vec{H}_r, \vec{S}_r$ 表示反射波电场、磁场和能流密度矢量, 则有:

$$\begin{cases} E_{ix} = E_{im} e^{-jkz} \\ E_{rx} = E_{rm} e^{jkz} \end{cases}$$

取入射线极化波的电场强度方向为x轴的正方向。

传播常数 $k = \beta = \frac{2\pi}{\lambda} = \omega\sqrt{\mu\varepsilon}$

波阻抗 $\eta = \sqrt{\frac{\mu}{\varepsilon}} = \frac{120\pi}{\sqrt{\varepsilon_r}}$



理想介质中的场是两者的合成，即：

$$E_x = E_{ix} + E_{rx} = E_{im} e^{-jkz} + E_{rm} e^{jkz}$$

E_{im} 和 E_{rm} 的关系可通过边界条件求得。

◆ 在理想导体的边界上，电场的切向分量是连续的，即

$$\vec{n} \times \vec{E} \Big|_{z=0} = 0$$

$$E_{im} + E_{rm} = 0 \qquad E_{im} = -E_{rm}$$

定义反射系数为

$$\Gamma = \frac{E_r}{E_i} \Big|_{z=0} = \frac{E_{rm}}{E_{im}}$$

在理想导体的边界上

$$\Gamma = \frac{E_{rm}}{E_{im}} = -1$$

理想介质中的总合成电场是

$$E_x = E_{im} e^{-jkz} + E_{rm} e^{jkz} = -E_{im} (e^{jkz} - e^{-jkz}) = -j2E_m \sin kz$$

对磁场有

$$H_{iy} = \frac{E_{ix}}{\eta} = \frac{E_{im}}{\eta} e^{-jkz}, H_{ry} = -\frac{E_{rx}}{\eta} = -\frac{E_{rm}}{\eta} e^{jkz}$$

总合成磁场有

$$H_y = H_{iy} + H_{ry} = \frac{E_{im}}{\eta} (e^{jkz} + e^{-jkz}) = \frac{2E_m}{\eta} \cos kz$$

还可以由Maxwell第二方程求解

$$\vec{H} = -\frac{1}{j\omega\mu} \nabla \times \vec{E} = \vec{e}_y \frac{2E_m}{\eta} \cos kz$$

注意：合成磁场和合成电场之间 $H_y \neq \frac{E_x}{\eta}$

复振幅

$$E_x = -j2E_{im} \sin kz$$

$$H_y = \frac{2E_{im}}{\eta} \cos kz$$

瞬时值

$$E_x = \operatorname{Re}(E_x e^{i\omega t}) = 2E_{im} \sin kz \sin \omega t$$

$$H_y = \operatorname{Re}(H_y e^{i\omega t}) = \frac{2E_{im}}{\eta} \cos kz \cos \omega t$$

在 $z < 0$ 的空间，电磁场振幅的空间分布

在 $kz = -n\pi$ 处，即 $\frac{2\pi}{\lambda} z = -n\pi$ $z = -\frac{n\lambda}{2}$ ，半波长的整数倍

$$E_x = 0, \quad |H_y| = |H_y|_{\max} = |2E_{im} \cos \omega t| / \eta \quad \text{电场波节，磁场波腹}$$

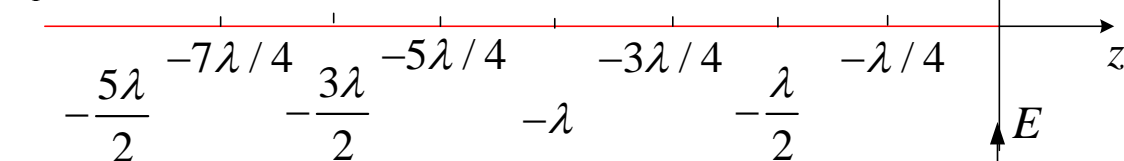
在 $kz = -(2n-1)\pi/2$ 处，即 $z = -\frac{2n-1}{4}\lambda$ ，四分之一波长的奇数倍

$$|E_x| = |E_x|_{\max} = |2E_{im} \sin \omega t|, \quad |H_y| = 0 \quad \text{电场波腹，磁场波节}$$

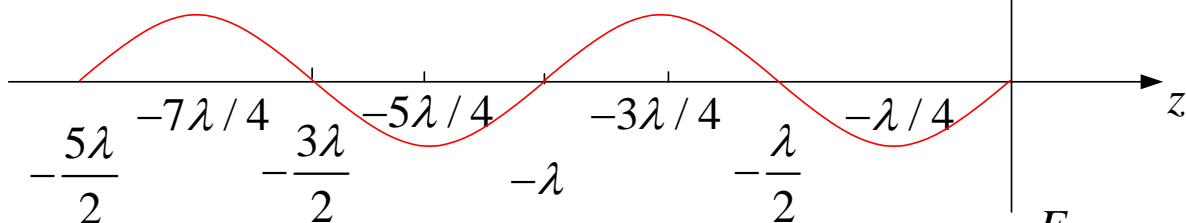
$$z = -\frac{n\lambda}{2}$$

电场波节，
磁场波腹

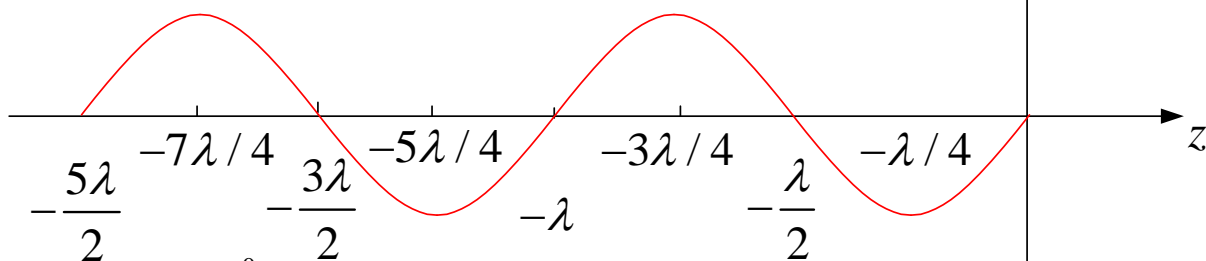
$$t_1 = 0$$



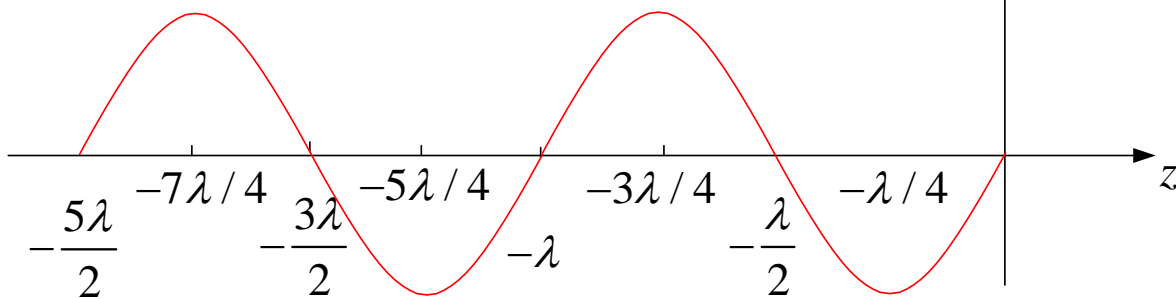
$$\omega t_2 = 30^\circ$$



$$\omega t_3 = 60^\circ$$

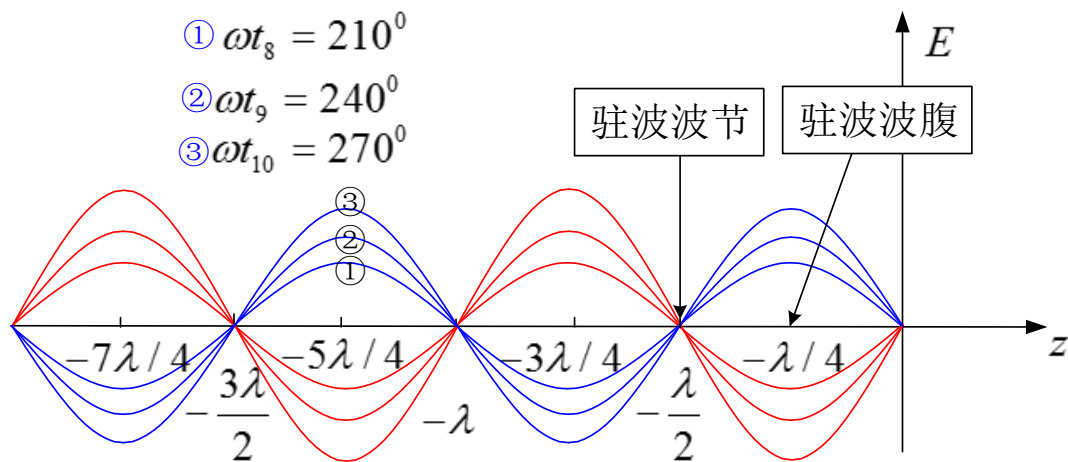


$$\omega t_4 = 90^\circ$$

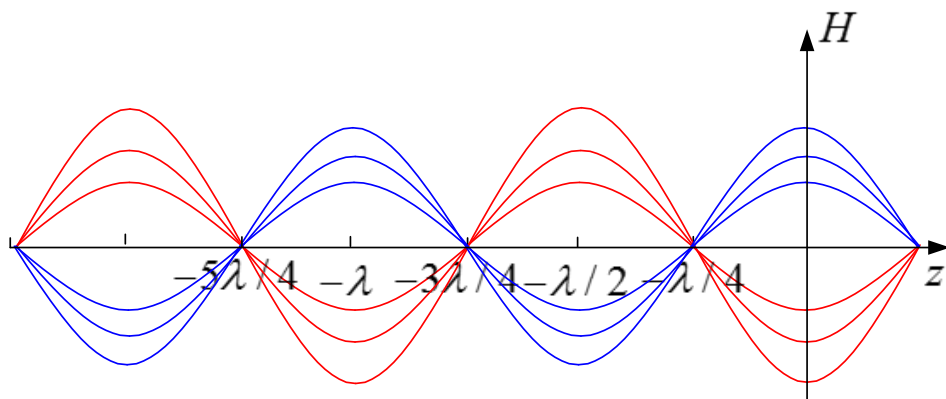


$$z = -\frac{2n-1}{4}\lambda$$

电场波腹，
磁场波节



$$E_x = 2E_{im} \sin kz \sin \omega t$$



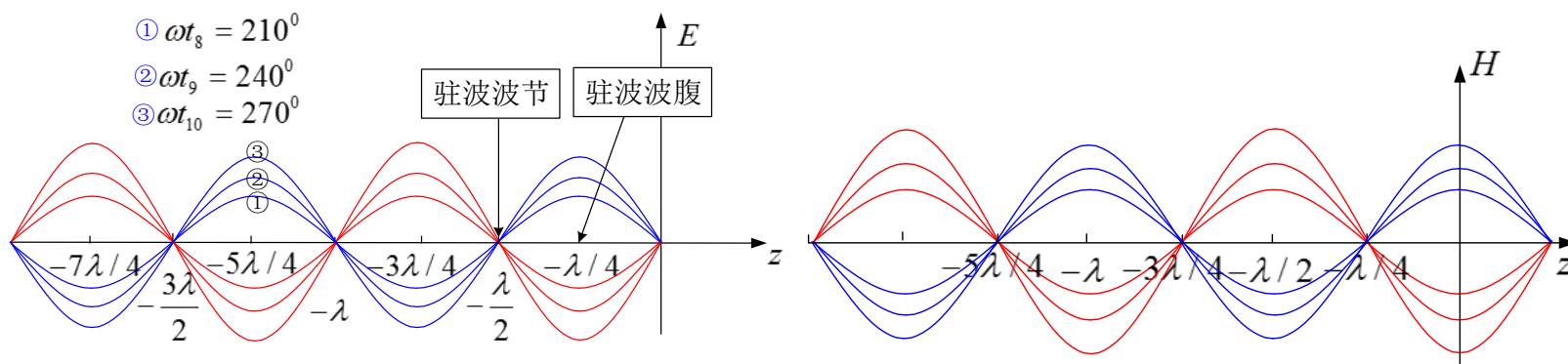
$$H_y = \frac{2E_{im}}{\eta} \cos kz \cos \omega t$$

其平均坡印廷矢量：

$$\bar{S}_{av} = \frac{1}{2} \text{Re}(\bar{E} \times \bar{H}^*) = \bar{e}_z \frac{1}{T} \int_0^T S_z dt = 0 \quad \text{即此时没有能量传输。}$$

➤ 从分布曲线可以看出：

1. 在不同的时刻，电磁场沿 z 轴方向的分布是不同幅度的正弦波。在一些固定的位置点上，电磁场分别取到最大值和零值。把这些位置点分别称为波腹和波节点，相邻波腹、波节点间距为 $\lambda/4$ ，两个波腹（波节）点间距是 $\lambda/2$ ， $z=0$ 处是电场波节，磁场波腹
2. 波节点和波腹点的位置固定不变，称其为驻波；不传输能量



3. 电磁能量只是储存在 $z < 0$ 的空间，并且不停的相互转化。电能最大时，磁能为零，同样磁能最大时，电能为零。这称为电磁振荡，且瞬时电能和磁能密度分别为：

$$w_e = \frac{1}{2} \varepsilon E_x^2 = 2\varepsilon E_{im}^2 \sin^2 kz \sin^2 \omega t$$

$$w_m = \frac{1}{2} \mu H_y^2 = 2\varepsilon E_{im}^2 \cos^2 kz \cos^2 \omega t = 2\varepsilon E_{im}^2 \cos^2 kz \cos^2 \omega t$$

➤对于理想媒质中的驻波分布，由于没有能量传输，也没有能量消耗，总储能应不随时间变化，因此总能量密度在空间的时间平均值应是一个常数，即

$$\bar{w} = \frac{1}{T} \int_0^T (w_e + w_m) dt = \frac{1}{T} \int_0^T 2\varepsilon E_{im}^2 (\sin^2 kz \sin^2 \omega t + \cos^2 kz \cos^2 \omega t) dt = \varepsilon E_{im}^2$$

例4-1. 空气中一均匀平面波，其电场强度为 $\vec{E} = E_m (\vec{e}_x + j\vec{e}_y) e^{-j10\pi z}$
垂直入射到一理想导体表面 ($z=0$ 平面)

- 求 (1) 空气中的波数 (即相移常数 k)，频率 f ；
(2) 反射波电场复振幅，并说明入、反射波的极化方式；
(3) 导体表面上的电流密度 \vec{J}_s ；
(4) 入射波的平均坡印廷矢量 \vec{S}_{av} ；
(5) $z<0$ 空间的平均坡印廷矢量 \vec{S}_{av} 。

结论：圆极化波入射到理想导体表面，其在 $z<0$ 空间的合成场也是驻波。（因为圆极化波可以分解成两个相互正交的线极化波）

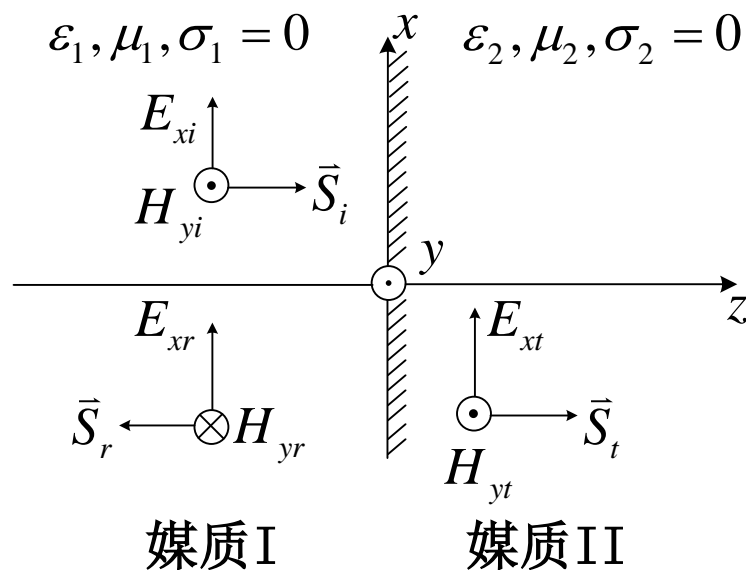
4.2 平面波向理想介质界面上的垂直入射

设 $z > 0$ 和 $z < 0$ 的两个半无限大空间分别充满了传播常数分别为 k_1 和 k_2 的两种理想介质。设入射波、反射波和透射波为 E_i, E_r, E_t ，在 $z < 0$ 的区域：

$$\begin{cases} E_{ix} = E_{im} e^{-jk_1 z} \\ E_{rx} = E_{rm} e^{jk_1 z} \end{cases}$$

对磁场有

$$\begin{cases} H_{iy} = \frac{E_{im}}{\eta_1} e^{-jk_1 z} \\ H_{ry} = -\frac{E_{rm}}{\eta_1} e^{jk_1 z} \end{cases}$$



其中： $k_1 = \omega \sqrt{\mu_1 \epsilon_1} = \frac{2\pi}{\lambda_1}$ $\eta_1 = \sqrt{\frac{\mu_1}{\epsilon_1}}$

媒质1中的总合成电磁场

$$E_{1x} = E_{ix} + E_{rx} = E_{im} e^{-jk_1 z} + E_{rm} e^{jk_1 z}$$
$$H_{1y} = -\frac{1}{j\omega\mu_1} \frac{\partial E_{1x}}{\partial z} = \frac{E_{im}}{\eta_1} e^{-jk_1 z} - \frac{E_{rm}}{\eta_1} e^{jk_1 z}$$

在 $z > 0$ 的区域（媒质II），

$$E_{2x} = E_{tm} e^{-jk_2 z}, \quad H_{2y} = \frac{E_{tm}}{\eta_2} e^{-jk_2 z}$$

$$k_2 = \omega \sqrt{\mu_2 \epsilon_2} = \frac{2\pi}{\lambda_2} \quad \eta_2 = \sqrt{\frac{\mu_2}{\epsilon_2}}$$

定义

$$\Gamma = \left. \frac{E_r}{E_i} \right|_{z=0} = \frac{E_{rm}}{E_{im}} \quad \text{——反射系数}$$

$$T = \left. \frac{E_t}{E_i} \right|_{z=0} = \frac{E_{tm}}{E_{im}} \quad \text{——透射系数}$$

于是，媒质I中的合成电场 $E_{1x} = E_{im} (e^{-jk_1z} + \Gamma e^{jk_1z})$

媒质I中的合成磁场 $H_{1y} = \frac{E_{im}}{\eta_1} (e^{-jk_1z} - \Gamma e^{jk_1z})$

媒质II中的电场 $E_{2x} = TE_{im} e^{-jk_2z}$

媒质II中的磁场 $H_{2y} = \frac{TE_{im}}{\eta_2} e^{-jk_2z}$

两种理想介质分界面上 ($z=0$) :

$$\vec{n} \times (\vec{E}_2 - \vec{E}_1) = 0, \quad \vec{n} \times (\vec{H}_2 - \vec{H}_1) = 0$$

$$\text{即} \quad (E_{1x} - E_{2x}) \Big|_{z=0} = 0, \quad (H_{1y} - H_{2y}) \Big|_{z=0} = 0$$

$$E_{im} \left(e^{-jk_1 z} + \Gamma e^{jk_1 z} \right) \Big|_{z=0} = TE_{im} e^{-jk_2 z} \Big|_{z=0} \quad \frac{E_{im}}{\eta_1} \left(e^{-jk_1 z} - \Gamma e^{jk_1 z} \right) \Big|_{z=0} = \frac{TE_{im}}{\eta_2} e^{-jk_2 z} \Big|_{z=0}$$

$$\begin{cases} 1 + \Gamma = T \\ \frac{1}{\eta_1} (1 - \Gamma) = \frac{T}{\eta_2} \end{cases}$$

反射系数和透射系数的关系

解之有

$$\Gamma = \frac{\eta_2 - \eta_1}{\eta_2 + \eta_1}, \quad T = \frac{2\eta_2}{\eta_2 + \eta_1} \quad (|\Gamma| \leq 1)$$

反射系数/透射系数与波阻抗的关系

对于前面讨论过的理想导体表面的反射问题

$$\tilde{\varepsilon} = \varepsilon \left(1 - j \frac{\sigma}{\omega \varepsilon} \right) \approx -j \frac{\sigma}{\omega} \rightarrow -j\infty$$

$$\eta_2 = \sqrt{\frac{\mu_2}{\varepsilon_2}} = 0$$

$$\Gamma = \frac{\eta_2 - \eta_1}{\eta_2 + \eta_1} = -1, \quad T = \frac{2\eta_2}{\eta_2 + \eta_1} = 0 \quad \text{即波全反射，没有透射。}$$

对于理想介质界面，在 $z < 0$ 的空间， $|\Gamma| \leq 1$

$$\begin{aligned} E_{1x} &= E_{im} (e^{-jk_1z} + \Gamma e^{jk_1z}) \\ &= E_{im} (e^{-jk_1z} - \Gamma e^{-jk_1z} + \Gamma e^{-jk_1z} + \Gamma e^{jk_1z}) \\ &= \boxed{E_{im} (1 - \Gamma) e^{-jk_1z}} + \boxed{2E_{im} \Gamma \cos k_1z} \end{aligned}$$

$$H_{1y} = \frac{E_{im}}{\eta_1} (e^{-jk_1z} - \Gamma e^{jk_1z})$$

$$\begin{aligned} &= \frac{E_{im}}{\eta_1} (e^{-jk_1z} - \Gamma e^{-jk_1z} + \Gamma e^{-jk_1z} - \Gamma e^{jk_1z}) \\ &= \boxed{\frac{E_{im}}{\eta_1} (1 - \Gamma) e^{-jk_1z}} - \boxed{j2 \frac{E_{im}}{\eta_1} \Gamma \sin k_1z} \end{aligned}$$

行波部分

驻波部分

在媒质1中传播的是行驻波。既有行波的特点，也有驻波的特征，在空间的一些固定点处取得场的最大值与最小值。

$$E_{1x} = E_{im} \left(e^{-jk_1 z} + \Gamma e^{jk_1 z} \right) = E_{im} e^{-jk_1 z} \left(1 + \Gamma e^{j2k_1 z} \right)$$

$$H_{1y} = \frac{E_{im}}{\eta_1} \left(e^{-jk_1 z} - \Gamma e^{jk_1 z} \right) = \frac{E_{im}}{\eta_1} e^{-jk_1 z} \left(1 - \Gamma e^{j2k_1 z} \right)$$

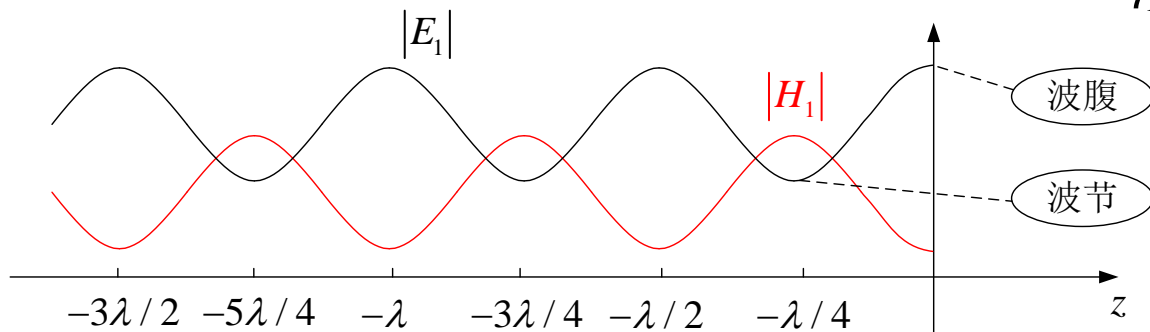
理想介质中 Γ 的幅角不是0就是 π ，设 $\eta_2 > \eta_1$ 则： $0 < \Gamma < 1$

当 $2k_1 z = -2n\pi$ $z_{\max} = -n\lambda_1 / 2$, $n = 0, 1, 2, 3, \dots$ 电场波腹，磁场波节

$$|E_{1x}| = |E_{1x}|_{\max} = |E_{im}|(1 + |\Gamma|), \quad |H_{1y}| = |H_{1y}|_{\min} = \frac{|E_{im}|}{\eta_1} (1 - |\Gamma|)$$

当 $2k_1 z = -(2n+1)\pi$ $z_{\min} = -(2n+1)\lambda_1 / 4$, $n = 0, 1, 2, 3, \dots$ 电场波节，磁场波腹

$$|E_{1x}| = |E_{1x}|_{\min} = |E_{im}|(1 - |\Gamma|), \quad |H_{1y}| = |H_{1y}|_{\max} = \frac{|E_{im}|}{\eta_1} (1 + |\Gamma|)$$



当 $\eta_2 < \eta_1$ 时， $-1 < \Gamma < 0$ ，上述结论反过来就可以。

为了反映行驻波状态的成分大小，定义驻波系数为

$$\rho = \frac{|E_{\max}|}{|E_{\min}|} = \frac{1+|\Gamma|}{1-|\Gamma|}$$

由于是行驻波，所以有能量传播，媒质I中，平均坡印廷矢量为

$$\begin{aligned}\bar{S}_{av1} &= \frac{1}{2} \operatorname{Re}(\bar{E}_{1x} \times \bar{H}_{1y}^*) = \operatorname{Re} \left(\frac{1}{2} \frac{E_{im}^2}{\eta_1} (e^{-jk_1 z} + \Gamma e^{jk_1 z}) (e^{jk_1 z} - \Gamma e^{-jk_1 z}) \right) \bar{e}_z \\ &= \operatorname{Re} \left(\frac{E_{im}^2}{2\eta_1} (1 - \Gamma^2) + j2\Gamma \sin 2k_1 z \right) \bar{e}_z \\ &= \frac{E_{im}^2}{2\eta_1} (1 - \Gamma^2) \bar{e}_z\end{aligned}$$

设

$$\vec{S}_{\lambda} = \frac{1}{2} \text{Re}(\vec{E}_i \times \vec{H}_i^*) = \frac{E_{im}^2}{2\eta_1} \vec{e}_z$$

$$\vec{S}_{\text{反}} = \frac{1}{2} \text{Re}(\vec{E}_r \times \vec{H}_r^*) = -|\Gamma|^2 \frac{E_{im}^2}{2\eta_1} \vec{e}_z$$

$$\vec{S}_{av1} = \frac{E_{im}^2}{2\eta_1} (1 - |\Gamma|^2) \vec{e}_z = \left(\frac{E_{im}^2}{2\eta_1} - |\Gamma|^2 \frac{E_{im}^2}{2\eta_1} \right) \vec{e}_z$$

$|\Gamma|^2$ ——功率反射系数

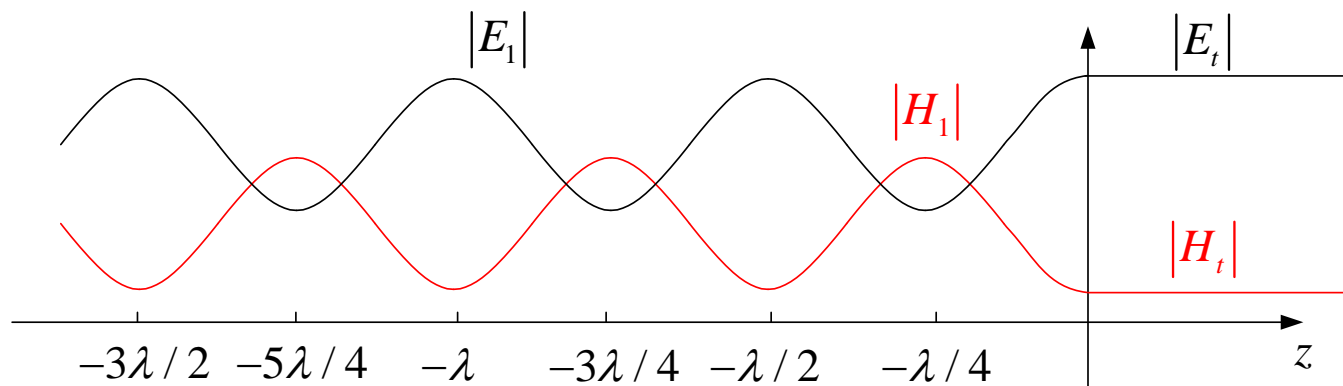
区域1中向z方向传输的平均功率密度=入射波传输的功率-反射波沿相反方向传输的功率。

在媒质II中

$$T = \frac{2\eta_2}{\eta_2 + \eta_1}, \quad 0 \leq T < 2$$

$$E_{2x} = TE_{im}e^{-jk_2z}, \quad H_{2y} = \frac{TE_{im}}{\eta_2}e^{-jk_2z}$$

媒质II中是行波传播



其平均坡印廷矢量

$$\vec{S}_{av2} = \vec{S}_{透} = \frac{1}{2} \text{Re}(\vec{E}_{2x} \times \vec{H}_{2y}^*) = \frac{E_{im}^2}{2\eta_2} \vec{e}_z = \frac{T^2 E_{im}^2}{2\eta_2} \vec{e}_z$$

$$\bar{S}_{av1} = \frac{E_{im}^2}{2\eta_1} (1 - |\Gamma|^2) \bar{e}_z$$

$$\bar{S}_{av2} = \bar{S}_{透} = \frac{1}{2} \text{Re}(\bar{E}_2 \times \bar{H}_2^*) = \frac{E_{tm}^2}{2\eta_2} \bar{e}_z = \frac{|T|^2 E_{im}^2}{2\eta_2} \bar{e}_z$$

$$\begin{cases} 1 + \Gamma = T \\ \frac{1}{\eta_1} (1 - \Gamma) = \frac{1}{\eta_2} T \end{cases} \Rightarrow \frac{1}{\eta_1} (1 - |\Gamma|^2) = \frac{1}{\eta_2} |T|^2$$

$$\bar{S}_{av1} = \bar{S}_{av2}$$

区域1中的入射波功率-区域**1**中反射波功率=区域2中的透射波功率，移项得，
 区域1中的入射波功率=区域**1**中反射波功率+区域2中的透射波功率（能量守恒）

若是非理想介质，用 $\tilde{\varepsilon}$ 换 ε ，则 Γ 、 \tilde{k} 、 $\tilde{\eta}$ 是复数，且为衰减波。

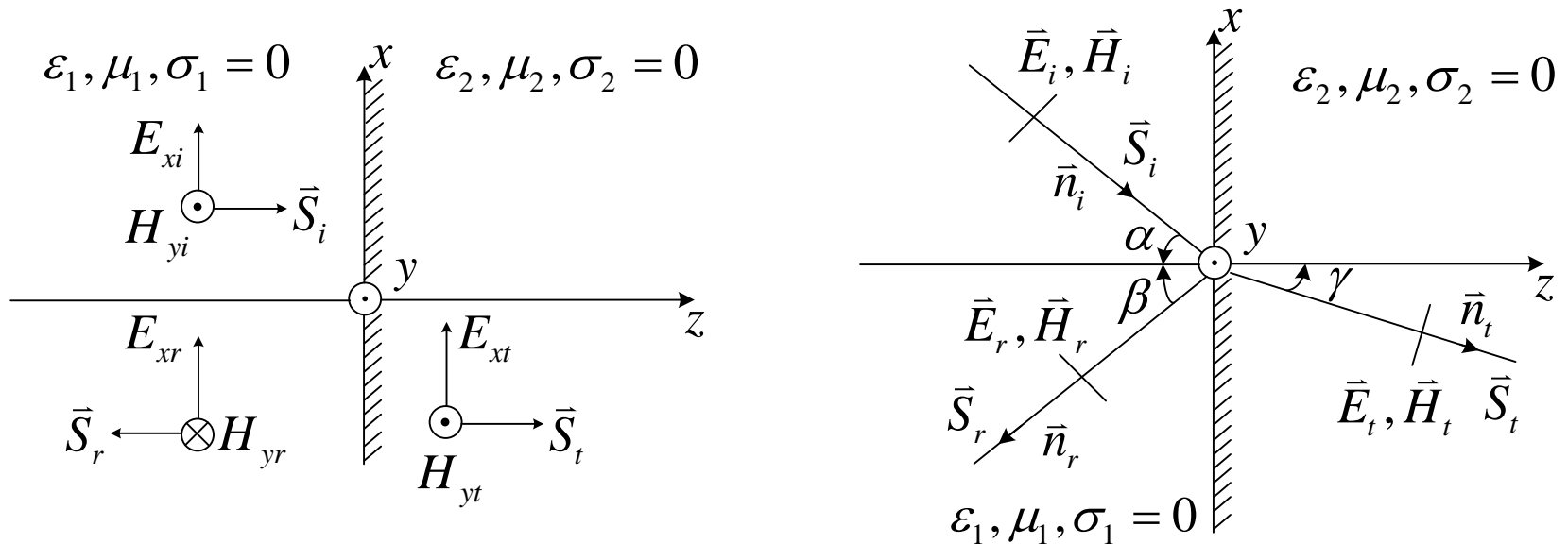
$$\Gamma = \frac{\tilde{\eta}_2 - \tilde{\eta}_1}{\tilde{\eta}_2 + \tilde{\eta}_1}, \quad T = \frac{2\tilde{\eta}_2}{\tilde{\eta}_2 + \tilde{\eta}_1}$$

例4-2. 均匀平面波由空气垂直入射到 $\mu_r = 1, \varepsilon_r = 4$ 的理想介质，已知介质中
: $E_2 = 1mV / m, \omega = 3 \times 10^8 rad / s$, 求空气中的 E_1, H_1 、介质中的 E_2, H_2 以及空
气中的平均功率密度、介质中的平均功率密度 \bar{S}_{av1} 和 \bar{S}_{av2} 。

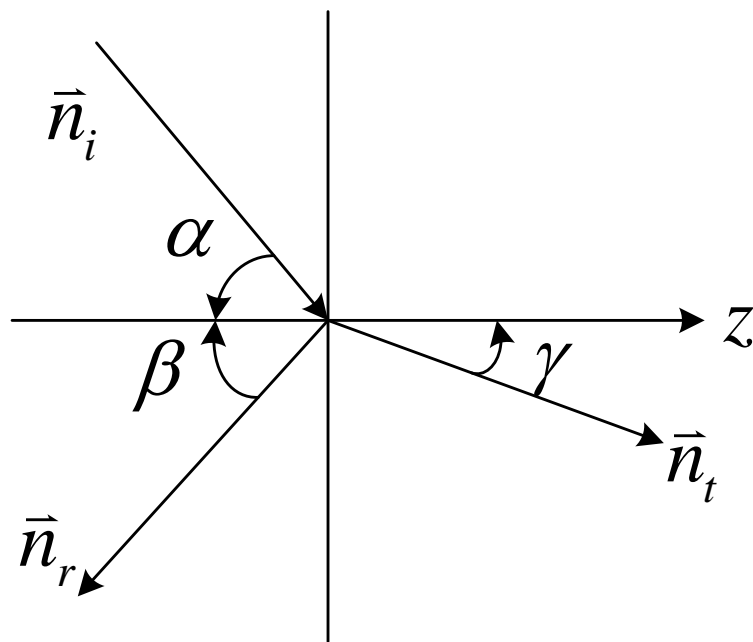
4.3 斯涅耳定律和极化的概念

均匀平面波斜入射到不同媒质的交界面比垂直入射更有普遍意义。垂直入射只是斜入射的特殊情况，斜入射时发生的现象除了与入射波的方向有关外，还与波的极化（空间取向）有关。

下面先讨论反射、折射定律、波的极化定义，然后讨论不同媒质界面的斜入射。



在斜入射时，对于给定的入射方向 \vec{n}_i ，其反射线方向 \vec{n}_r 与折射线方向 \vec{n}_t 均在同一个平面内——即入射线与分界面法矢所构成的平面，称其为入射面，如图所示。



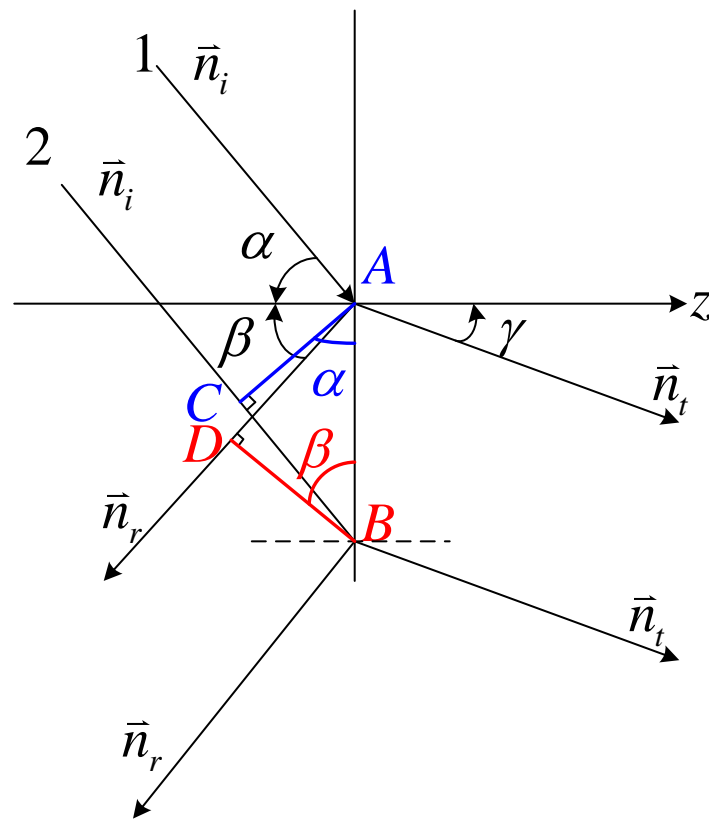
1. 反射定律：入射角 α 等于反射角 β

证明：由于射线1、2分别在A、B两点发生反射与折射，**AC、BD**分别为入射波、反射波的等相位面，等相位**AC**在1、2两条入射线上的相移为**CB**，而等相位面**BD**在1、2对应反射线上的相移为**AD**，两者满足

$$k_1 AD = k_1 CB \rightarrow AD = CB$$

$$\because AD = AB \sin \beta, \quad CB = AB \sin \alpha$$

$$\therefore \alpha = \beta$$



• 折射现象

BF也是等相位面，我们有

$$k_2 AF = k_1 BC$$

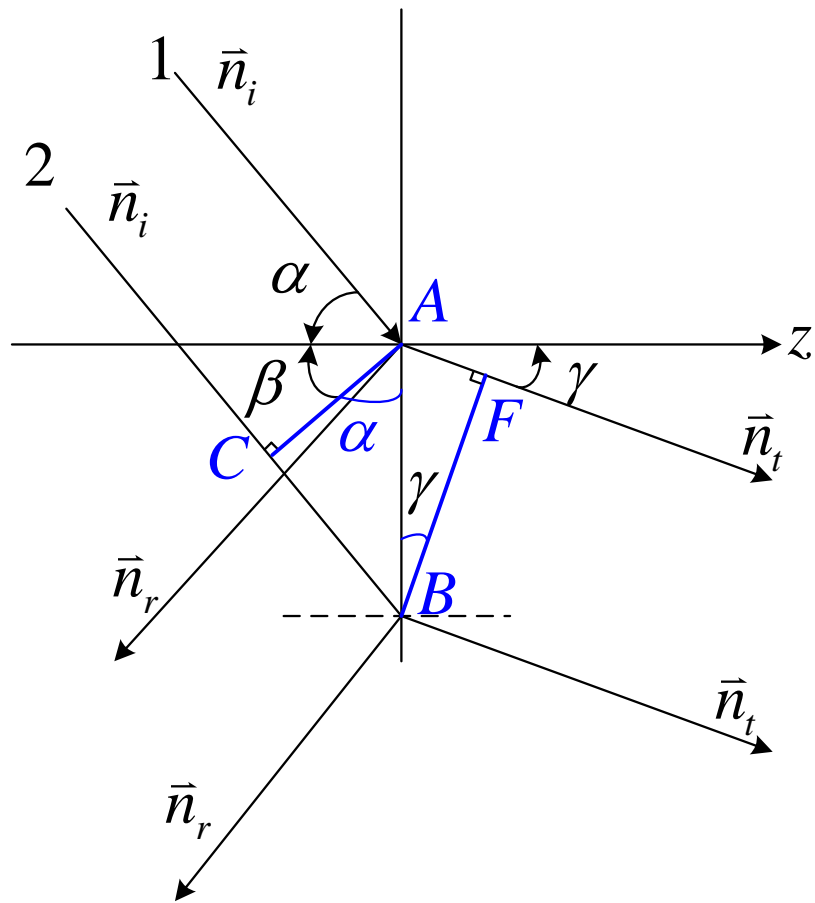
$$\therefore AF = AB \sin \gamma, \quad BC = AB \sin \alpha$$

$$\therefore k_2 \sin \gamma = k_1 \sin \alpha$$

一般媒质均有 $\mu_1 = \mu_2$

$$\therefore \frac{\sin \alpha}{\sin \gamma} = \frac{k_2}{k_1} = \frac{v_1}{v_2} = \sqrt{\frac{\epsilon_2}{\epsilon_1}} = n_{21}$$

$$k_1 = \frac{\omega}{v_1}, \quad k_2 = \frac{\omega}{v_2}$$



2. 折射定理：当从媒质1折射入媒质2时，入射角与折射角满足关系式：

$$\frac{\sin \alpha}{\sin \gamma} = \frac{v_1}{v_2} = \frac{k_2}{k_1} = \sqrt{\frac{\mu_2 \varepsilon_2}{\mu_1 \varepsilon_1}} = \sqrt{\frac{\mu_{r2} \varepsilon_{r2}}{\mu_{r1} \varepsilon_{r1}}} = \frac{n_2}{n_1} \quad \text{式中, } n = \sqrt{\mu_r \varepsilon_r} \text{ -- 物质的折射率}$$

若 $\gamma = 90^\circ$ ，则无透射波（全反射），发生全反射时的入射角称为临界角，且：

$$\alpha_c = \sin^{-1} \sqrt{\frac{\mu_2 \varepsilon_2}{\mu_1 \varepsilon_1}}$$

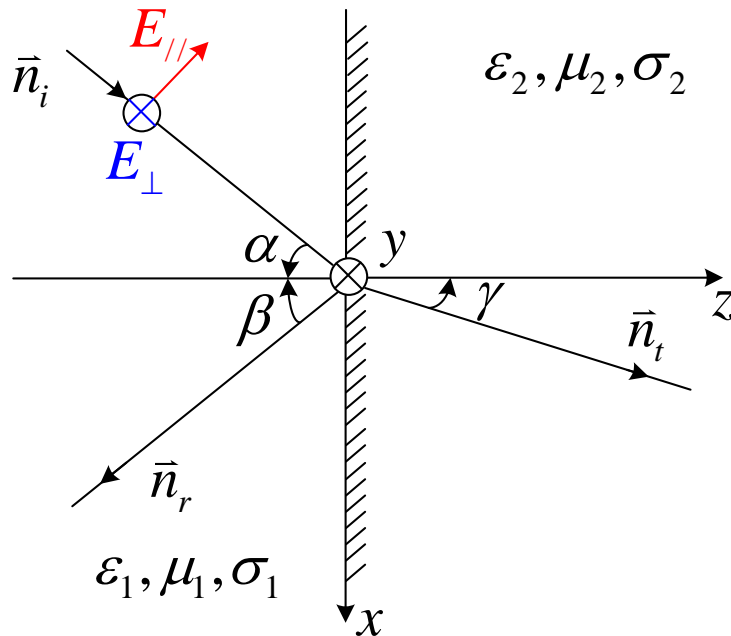
只有在由光密媒质（ ε_1 ）向光疏媒质（ ε_2 ）斜入射（ $\varepsilon_1 > \varepsilon_2$ ），且

$$\alpha \geq \alpha_c$$

时才出现全反射。

• 水平与垂直极化的概念

对于给定的入射方向 \vec{n}_i ，其电场矢量必然位于与传播方向垂直的等位面上，但在等位面内可以有不同的取向（对于垂直入射，等位面与媒质界面是平行的，任意斜入射时等位面与分界面有一入射夹角）。不管 E 的取向如何，总可将它分解为与入射面平行及与入射面垂直的两个分量—— $E_{//}, E_{\perp}$



- 任意极化的平面波都可以分解为平行极化波和垂直极化波的合成
- $E_{//}$ 分量位于入射面内，与入射面平行，称为水平极化波；
- E_{\perp} 分量垂直于入射面，与入射面垂直，称为垂直极化波。

- 不同的极化波有着不同的反射与折射特性，下面分别加以讨论。

4.4 平面波向理想导体界面上的斜入射

1. 垂直极化波向理想导体界面斜入射
2. 平行极化波向理想导体界面斜入射

回顾：任意方向传播的均匀平面波

- 对于沿任意方向传播的均匀平面波，其仍满足矢量亥姆赫兹方程

$$\nabla^2 \vec{E} + \tilde{k}^2 \vec{E} = 0$$

在直角坐标系下：

$$\nabla^2 = \frac{\partial^2}{\partial x^2} + \frac{\partial^2}{\partial y^2} + \frac{\partial^2}{\partial z^2} \quad \vec{E}(x, y, z) = E_x \vec{e}_x + E_y \vec{e}_y + E_z \vec{e}_z$$

则每个分量均满足： $\nabla^2 \vec{E}_i + \tilde{k}^2 \vec{E}_i = 0, \quad i = x, y, z$

以 E_x 为例则有：

$$\frac{\partial^2 E_x}{\partial x^2} + \frac{\partial^2 E_x}{\partial y^2} + \frac{\partial^2 E_x}{\partial z^2} + k^2 E_x = 0$$

该方程可采用分离变量法求解，即： $E_x = f(x)g(y)h(z)$

设 $k^2 = \omega^2 \mu \varepsilon = k_x^2 + k_y^2 + k_z^2$ ，则可得

$$\begin{cases} \frac{d^2 f}{dx^2} + k_x^2 f = 0 \\ \frac{d^2 g}{dy^2} + k_y^2 g = 0 \\ \frac{d^2 h}{dz^2} + k_z^2 h = 0 \end{cases}$$

方程的解分别为 $e^{\pm jk_x x}, e^{\pm jk_y y}, e^{\pm jk_z z}$

取离开源的单一方向的波，解为

$$E_x = A e^{-jk_x x} e^{-jk_y y} e^{-jk_z z} = A e^{-j(k_x x + k_y y + k_z z)}$$

$$\vec{k} = k_x \vec{e}_x + k_y \vec{e}_y + k_z \vec{e}_z, \quad \vec{r} = x \vec{e}_x + y \vec{e}_y + z \vec{e}_z$$

\vec{k} 为传播矢量，是常矢。

沿任意方向传播的解表示为 $E_x = A e^{-j\vec{k} \cdot \vec{r}}$

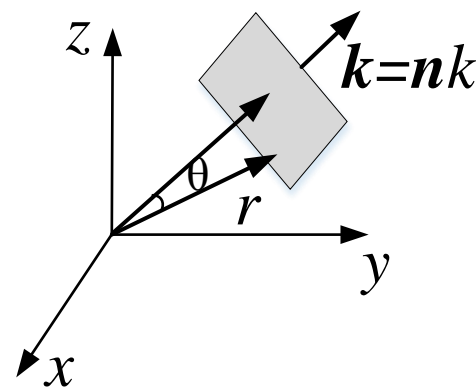
沿任意方向传播的解表示为 $E_x = Ae^{-j\vec{k}\cdot\vec{r}}$

表明：这是由传播矢量 \vec{k} 所决定的传播方向上传播的电场的 x 分量，而标量积 $\vec{k}\cdot\vec{r}$ 则表示 \vec{k} 乘以从原点0到与矢量 $\vec{k} = n\vec{k}$ 相垂直的平面的距离。

同样的方法可得：

$$E_y = Be^{-j\vec{k}\cdot\vec{r}}, \quad E_z = Ce^{-j\vec{k}\cdot\vec{r}}$$

$$\therefore \vec{E} = (A\vec{e}_x + B\vec{e}_y + C\vec{e}_z)e^{-j\vec{k}\cdot\vec{r}} = \vec{E}_{mi}e^{-j\vec{k}\cdot\vec{r}} \quad \vec{E}_{mi} \text{ 为常矢。}$$



用Maxwell第二方程求磁场

$$\begin{aligned} \vec{H} &= -\frac{1}{j\omega\mu} \nabla \times \vec{E} = -\frac{1}{j\omega\mu} \left[e^{-j\vec{k}\cdot\vec{r}} \nabla \times \vec{E}_{mi} + \nabla \left(e^{-j\vec{k}\cdot\vec{r}} \right) \times \vec{E}_{mi} \right] \\ &= -\frac{1}{j\omega\mu} \left[-je^{-j\vec{k}\cdot\vec{r}} \nabla (\vec{k} \cdot \vec{r}) \times \vec{E}_{mi} \right] \end{aligned}$$

$$\begin{aligned}
\nabla(\vec{k} \cdot \vec{r}) &= \vec{k} \times \nabla \times \vec{r} + (\vec{k} \cdot \nabla) \vec{r} + \vec{r} \times \nabla \times \vec{k} + (\vec{r} \cdot \nabla) \vec{k} \\
&= (\vec{k} \cdot \nabla) \vec{r} = \left(k_x \frac{\partial}{\partial x} + k_y \frac{\partial}{\partial y} + k_z \frac{\partial}{\partial z} \right) (x\vec{e}_x + y\vec{e}_y + z\vec{e}_z) \\
&= k_x \vec{e}_x + k_y \vec{e}_y + k_z \vec{e}_z = \vec{k} = k\vec{n} \quad (\vec{n} \text{ 是 } k \text{ 方向的单位矢量})
\end{aligned}$$

$$\begin{aligned}
\vec{H} &= -\frac{1}{j\omega\mu} \left[-je^{-j\vec{k} \cdot \vec{r}} \nabla(\vec{k} \cdot \vec{r}) \times \vec{E}_{mi} \right] = \frac{1}{\omega\mu} \vec{k} \times \vec{E} \\
&= \frac{k}{\omega\mu} \vec{n} \times \vec{E} = \frac{1}{\eta} \vec{n} \times \vec{E}
\end{aligned}$$

同理，由 $\vec{n} \times \vec{H} = \frac{1}{\eta} \vec{n} \times \vec{n} \times \vec{E} = (\vec{n} \cdot \vec{E}) \vec{n} - (\vec{n} \cdot \vec{n}) \vec{E} = -\vec{E}$

可得 $\vec{n} \times \vec{H} = -\frac{1}{\eta} \vec{E}, \quad \vec{E} = -\eta \vec{n} \times \vec{H}$

这是由于所研究的是任意方向传播的均匀平面波，在垂直于 \vec{k} 的平面内

$$E_m = \text{const}, \quad H_m = \text{const} \quad \text{且} \quad \vec{E} \perp \vec{k}, \quad \vec{H} \perp \vec{k} \quad \Rightarrow \quad \vec{k} \cdot \vec{E} = 0, \quad \vec{k} \cdot \vec{H} = 0$$

1. 垂直极化波向理想导体界面斜入射

垂直极化波：电场矢量与入射面垂直，与导体表面平行，磁场矢量在入射面内。

均匀平面波向理想导体表面斜入射时，同样会发生全反射。设

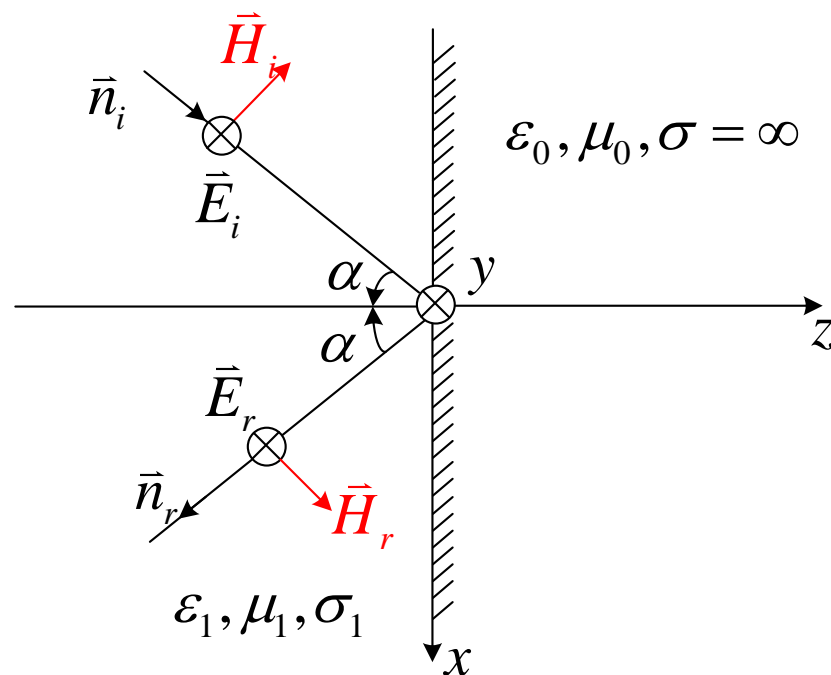
$$\vec{n}_i = \sin \alpha \vec{e}_x + \cos \alpha \vec{e}_z \quad \vec{k}_i = k_i \vec{n}_i$$

$$\vec{n}_r = \sin \alpha \vec{e}_x - \cos \alpha \vec{e}_z \quad \vec{k}_r = k_r \vec{n}_r$$

$$\vec{r} = x\vec{e}_x + y\vec{e}_y + z\vec{e}_z$$

$$E_i = E_{yi} = E_{im} e^{-j\vec{k}_i \cdot \vec{r}} = E_{im} e^{-jk(x\sin\alpha + z\cos\alpha)}$$

$$E_r = E_{yr} = E_{rm} e^{-j\vec{k}_r \cdot \vec{r}} = E_{rm} e^{-jk(x\sin\alpha - z\cos\alpha)}$$

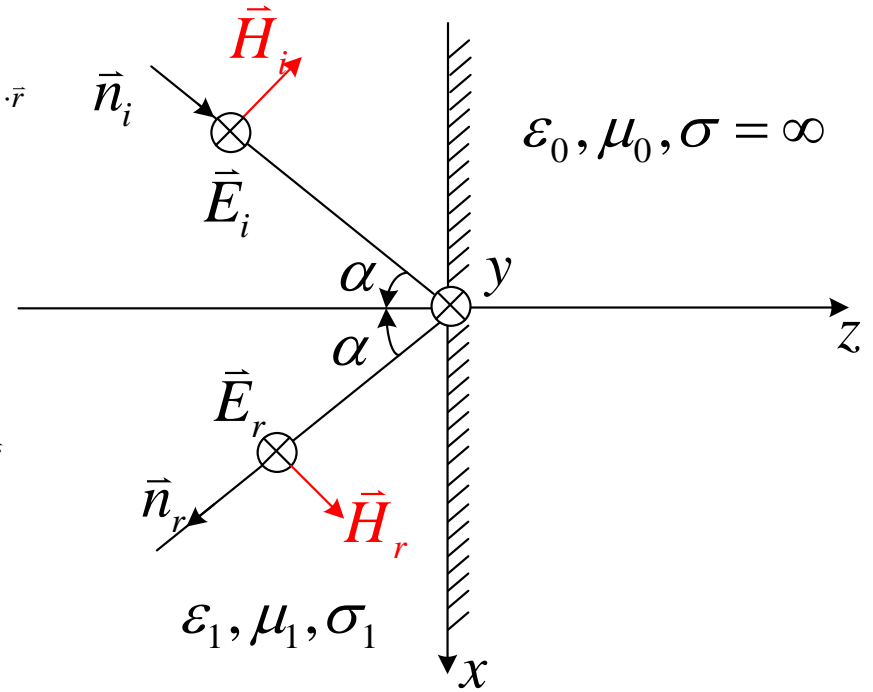


$$H_i = \frac{1}{\eta} \vec{n}_i \times \vec{E}_i = (-\cos \alpha \vec{e}_x + \sin \alpha \vec{e}_z) \frac{E_{im}}{\eta} e^{-j\vec{k}_i \cdot \vec{r}}$$

$$= (-\cos \alpha \vec{e}_x + \sin \alpha \vec{e}_z) \frac{E_{im}}{\eta} e^{-jk_1(x \sin \alpha + z \cos \alpha)}$$

$$H_r = \frac{1}{\eta} \vec{n}_r \times \vec{E}_r = (\cos \alpha \vec{e}_x + \sin \alpha \vec{e}_z) \frac{E_{rm}}{\eta} e^{-j\vec{k}_r \cdot \vec{r}}$$

$$= (\cos \alpha \vec{e}_x + \sin \alpha \vec{e}_z) \frac{E_{rm}}{\eta} e^{-jk_1(x \sin \alpha - z \cos \alpha)}$$



在 $z=0$ 处，由边界条件

$$(E_i + E_r)|_{z=0} = 0 \rightarrow E_{rm} = -E_{im}$$

$$\Gamma_{\perp} = \frac{E_{rm}}{E_{im}} = -1$$

在 $z < 0$ 的空间,

$$E_i = E_{yi} = E_{im} e^{-j\vec{k}_i \cdot \vec{r}} = E_{im} e^{-jk_1(x \sin \alpha + z \cos \alpha)}$$

$$E_r = E_{yr} = E_{rm} e^{-j\vec{k}_r \cdot \vec{r}} = -E_{im} e^{-jk_1(x \sin \alpha - z \cos \alpha)}$$

$$H_i = (-\cos \alpha \bar{e}_x + \sin \alpha \bar{e}_z) \frac{E_{im}}{\eta} e^{-jk_1(x \sin \alpha + z \cos \alpha)}$$

$$H_r = (\cos \alpha \bar{e}_x + \sin \alpha \bar{e}_z) \frac{-E_{im}}{\eta} e^{-jk_1(x \sin \alpha - z \cos \alpha)}$$

合成电场:

$$E_{1y} = E_i + E_r = E_{im} e^{-jk_1 x \sin \alpha} (e^{-jk_1 z \cos \alpha} - e^{jk_1 z \cos \alpha}) = -j2E_{im} \sin(k_1 z \cos \alpha) e^{-jk_1 x \sin \alpha}$$

合成磁场:

$$H_{1x} = -\frac{2E_{im}}{\eta} \cos \alpha \cos(k_1 z \cos \alpha) e^{-jk_1 x \sin \alpha}$$

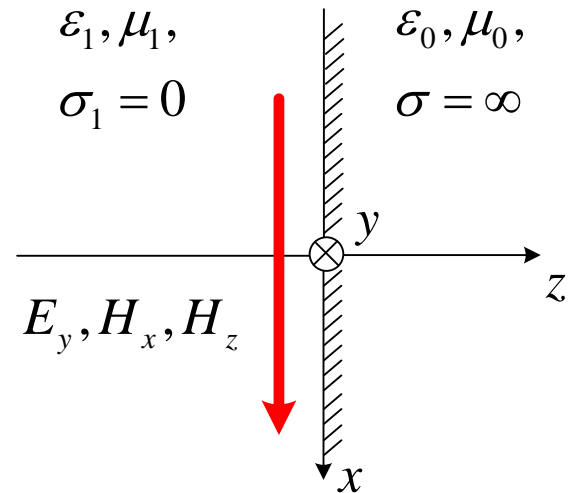
$$H_{1z} = -j \frac{2E_{im}}{\eta} \sin \alpha \sin(k_1 z \cos \alpha) e^{-jk_1 x \sin \alpha}$$

磁场也可由Maxwell方程求 $\vec{H} = -\frac{1}{j\omega\mu} \nabla \times \vec{E}$

$$E_{1y} = -j2E_{im} \sin(k_1 z \cos \alpha) e^{-jk_1 x \sin \alpha}$$

$$H_{1x} = -\frac{1}{j\omega\mu} \frac{\partial E_y}{\partial z} = -\frac{2E_{im}}{\eta} \cos \alpha \cos(k_1 z \cos \alpha) e^{-jk_1 x \sin \alpha}$$

$$H_{1z} = -\frac{1}{j\omega\mu} \frac{\partial E_y}{\partial x} = -j\frac{2E_{im}}{\eta} \sin \alpha \sin(k_1 z \cos \alpha) e^{-jk_1 x \sin \alpha}$$



性质：1. 合成波是沿x方向传播的行波，理想的导体表面起了一个导波作用；

2. 合成波电场 E_y 与传播方向垂直，而磁场有与传播方向一致的分量 H_x ，不是TEM波，是导行波，称其为横电波（TE波）或纵磁波（H波）；

3. 合成波各场分量的振幅沿z轴呈驻波分布，具有驻波的特点；合成波电磁场分量是z的函数，是‘非均匀平面波’。

4. 沿x轴方向传播的相速 v_p 大于光速c【沿x方向相位常数是 $k_1 \sin \alpha$ ，

其相速为：
$$v_{px} = \frac{\omega}{k_1 \sin \alpha} = \frac{c}{\sin \alpha} > c \quad \text{】}$$

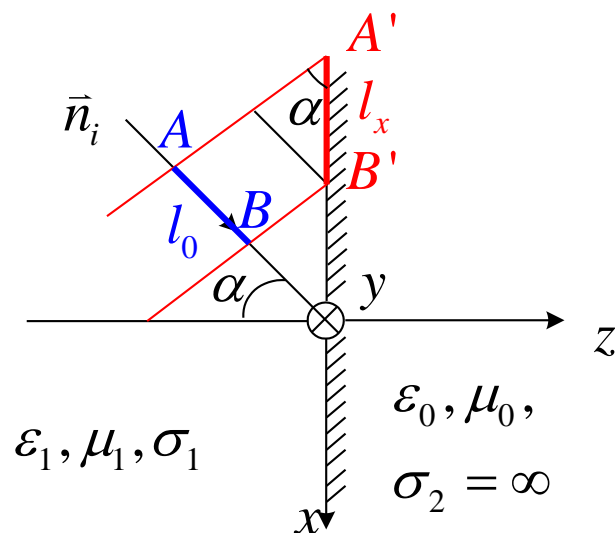
$$\because \vec{k}_1 = k_1 \vec{n}_i = k_1 (\sin \alpha \vec{e}_x + \cos \alpha \vec{e}_z) = \vec{k}_{1x} + \vec{k}_{1z} \quad k_{1x} = k_1 \sin \alpha, \quad k_{1z} = k_1 \cos \alpha$$

相速度是等相位点移动的速度，即

$$\omega t - k_1 x \sin \alpha + \varphi = \text{const}$$

$$v_{px} = \frac{dx}{dt} = \frac{\omega}{k_{1x}} = \frac{\omega}{k_1 \sin \alpha} = \frac{c}{\sin \alpha} > c$$

几何解释：



沿 \vec{n}_i 方向传播的电磁波，等相位点由**A**移动到**B**，以光速**c**在 Δt 时间移动了 l_0 。而在导体表面附近，**A'**和**B'**同样是等相位点，但由于导体板的作用，传播方向发生了改变，只能沿**x**方向传播，这样在相等的 Δt 时间内，等相位点**A'**到达**B'**时走的路径 l_x

$$l_x = \frac{l_0}{\sin \alpha} \quad v_{px} = \frac{l_x}{\Delta t} = \frac{l_0}{\Delta t \sin \alpha} = \frac{c}{\sin \alpha} > c$$

2. 平行极化波斜入射到理想导体表面

平行极化波斜入射到理想导体表面，此时电场矢量位于入射面内，磁场方向与导体界面平行。

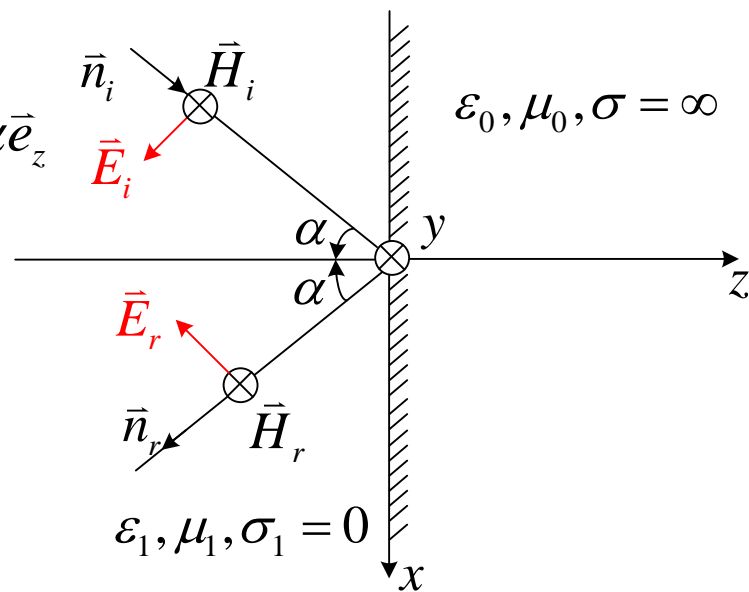
设： $\vec{n}_i = \sin \alpha \vec{e}_x + \cos \alpha \vec{e}_z$, $\vec{n}_r = \sin \alpha \vec{e}_x - \cos \alpha \vec{e}_z$

$$\vec{H}_i = H_{yi} \vec{e}_y = \frac{E_{im}}{\eta} e^{-jk\vec{n}_i \cdot \vec{r}} \vec{e}_y = \frac{E_{im}}{\eta} e^{-jk(x \sin \alpha + z \cos \alpha)} \vec{e}_y$$

$$\vec{E}_i = E_{im} e^{-jk\vec{n}_i \cdot \vec{r}} \vec{e}_i = E_{im} (\cos \alpha \vec{e}_x - \sin \alpha \vec{e}_z) e^{-jk(x \sin \alpha + z \cos \alpha)}$$

$$\vec{H}_r = H_{yr} \vec{e}_y = \frac{E_{rm}}{\eta} e^{-jk\vec{n}_r \cdot \vec{r}} \vec{e}_y = \frac{E_{rm}}{\eta} e^{-jk(x \sin \alpha - z \cos \alpha)} \vec{e}_y$$

$$\vec{E}_r = E_{rm} (-\cos \alpha \vec{e}_x - \sin \alpha \vec{e}_z) e^{-jk(x \sin \alpha - z \cos \alpha)}$$



理想介质中的总合成场

$$H_y = H_{yi} + H_{yr} = \frac{E_{im}}{\eta} e^{-jkx \sin \alpha} (e^{-jkz \cos \alpha} + \frac{E_{rm}}{E_{im}} e^{jkz \cos \alpha})$$

$$E_x = E_{xi} + E_{xr} = E_{im} \cos \alpha e^{-jkx \sin \alpha} (e^{-jkz \cos \alpha} - \frac{E_{rm}}{E_{im}} e^{jkz \cos \alpha})$$

$$E_z = E_{zi} + E_{zr} = -E_{im} \sin \alpha e^{-jkx \sin \alpha} (e^{-jkz \cos \alpha} + \frac{E_{rm}}{E_{im}} e^{jkz \cos \alpha})$$

$$(E_{xi} + E_{xr})|_{z=0} = 0 \Rightarrow E_{rm} = E_{im}$$

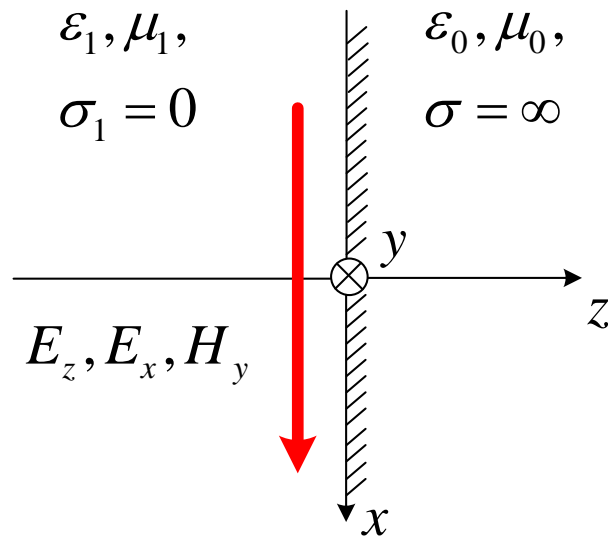
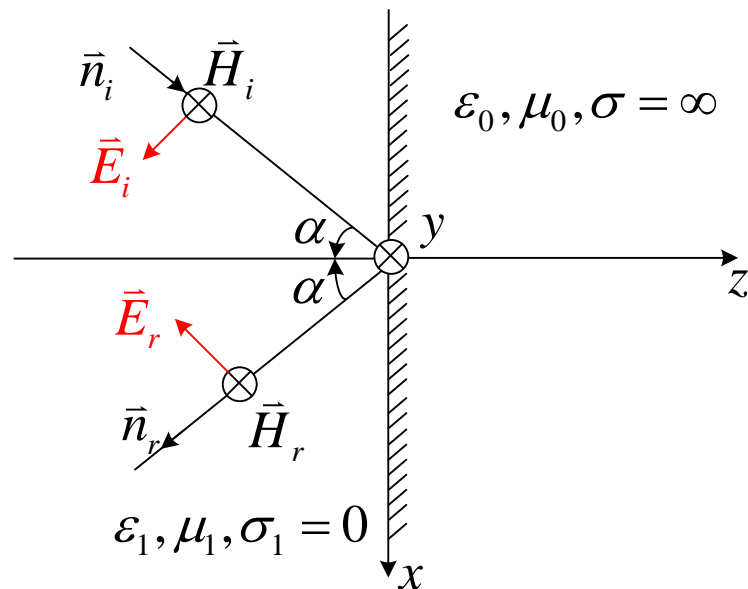
反射系数: $\Gamma_{//} = \frac{E_{rm}}{E_{im}} = 1$

在 $z < 0$ 的区域, 合成场为:

$$H_y = \frac{2E_{im}}{\eta} \cos(kz \cos \alpha) e^{-jkx \sin \alpha}$$

$$E_x = -j2E_{im} \cos \alpha \sin(kz \cos \alpha) e^{-jkx \sin \alpha}$$

$$E_z = -2E_{im} \sin \alpha \cos(kz \cos \alpha) e^{-jkx \sin \alpha}$$



$$E_x = -j2E_{im} \cos \alpha \sin(kz \cos \alpha) e^{-jkx \sin \alpha}$$

$$E_z = -2E_{im} \sin \alpha \cos(kz \cos \alpha) e^{-jkx \sin \alpha}$$

$$H_y = \frac{2E_{im}}{\eta} \cos(kz \cos \alpha) e^{-jkx \sin \alpha}$$

显然：

1：与垂直极化分量一样，也是全反射，无透射。

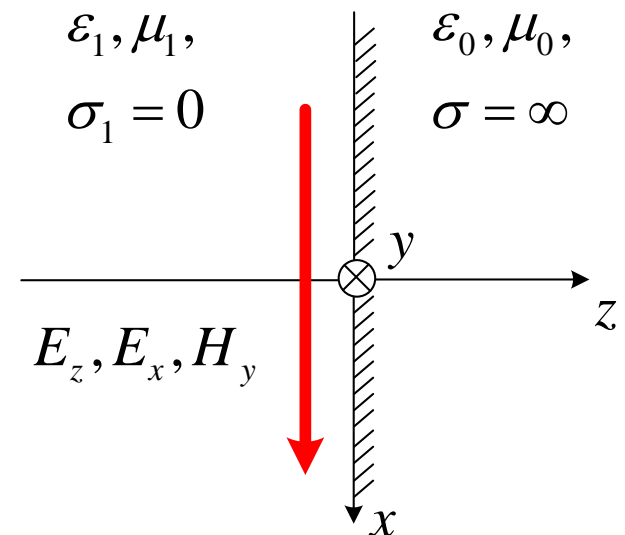
2：也是一个沿 x 轴方向（导体表面）传播的导行波，是一个非 TEM 波。

但因为沿传播方向只有 E_x 分量无 H_x 分量，即磁场位于垂直于传播方向的平面内，所以称此波为横磁波（ TM 波），或纵电波（ E 波）。

3：不是均匀平面波，沿 z 轴方向是驻波分布。

4：其沿 x 轴方向的相速 $v_{px} > c$

$$v_{px} = \frac{\omega}{k_x} = \frac{\omega}{k \sin \alpha} > \frac{c}{\sqrt{\epsilon_r}}$$



例4-3. 均匀平面波由空气斜入射到理想导体表面 $z=0$ ，已知入射波电场为 $\vec{E}_i = 5(\vec{e}_x + \sqrt{3}\vec{e}_z)e^{j6(\sqrt{3}x-z)}V/m$

试求：（1）入射波磁场、反射波电场和磁场；

（2）理想导体表面的面电荷密度和面电流密度。

4.5 平面波向理想介质界面上的斜入射

1. 垂直极化波向理想介质界面的斜入射
 - (1) 全反射情况
 - (2) 全透射情况
2. 平行极化波向理想介质界面的斜入射
 - (1) 全反射——临界角
 - (2) 全透射——极化角 (**Brewster angle**)

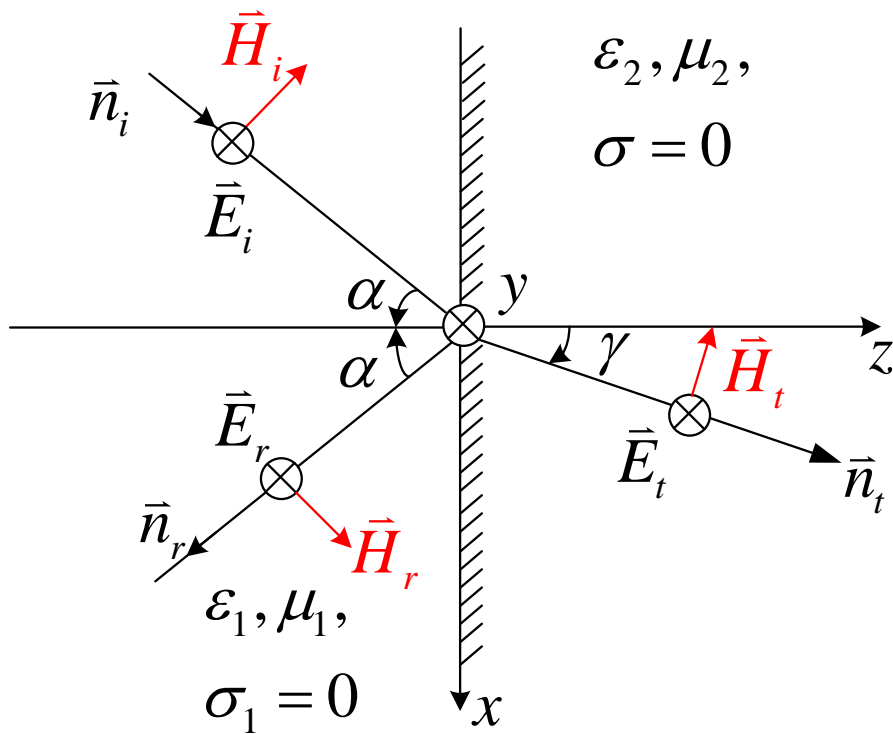
1. 垂直极化波的斜入射

设媒质界面的反射系数为

$$\Gamma_{\perp} = \frac{E_r}{E_i} \Big|_{z=0} = \frac{E_{rm}}{E_{im}}$$

媒质交界面的透射系数为

$$T_{\perp} = \frac{E_t}{E_i} \Big|_{z=0} = \frac{E_{tm}}{E_{im}}$$

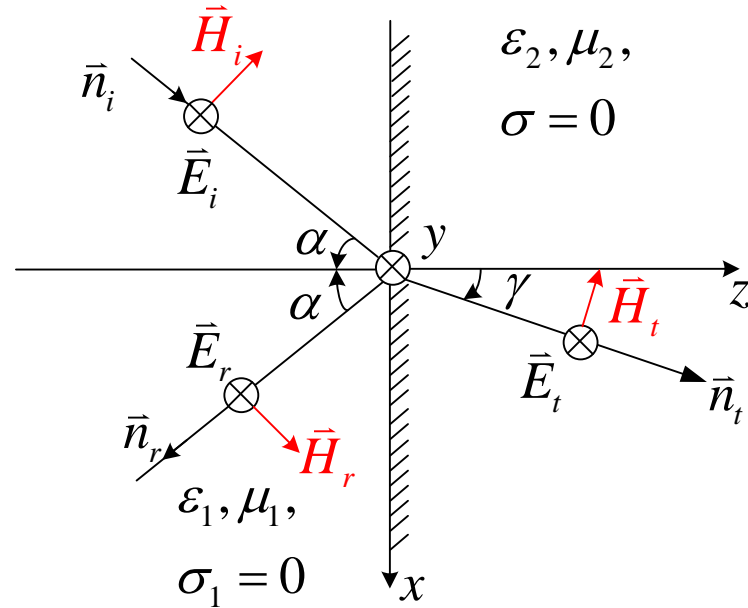


在区域1中:

$$k_1 = \omega \sqrt{\mu_1 \epsilon_1} = \frac{2\pi}{\lambda_1}$$

$$\vec{n}_i = \sin \alpha \vec{e}_x + \cos \alpha \vec{e}_z$$

$$\vec{n}_r = \sin \alpha \vec{e}_x - \cos \alpha \vec{e}_z$$



$$\vec{E}_i = E_{yi} \vec{e}_y = E_{im} e^{-jk_1 \vec{n}_i \cdot \vec{r}} \vec{e}_y = E_{im} e^{-jk_1 (x \sin \alpha + z \cos \alpha)} \vec{e}_y$$

$$\vec{H}_i = \frac{E_i}{\eta_1} \vec{e}_{Hi} = \frac{E_{im}}{\eta_1} (-\cos \alpha \vec{e}_x + \sin \alpha \vec{e}_z) e^{-jk_1 (x \sin \alpha + z \cos \alpha)}$$

$$\vec{E}_r = E_{yr} \vec{e}_y = E_{rm} e^{-jk_1 \vec{n}_r \cdot \vec{r}} \vec{e}_y = \Gamma_{\perp} E_{im} e^{-jk_1 (x \sin \alpha - z \cos \alpha)} \vec{e}_y$$

$$\vec{H}_r = \frac{E_r}{\eta_1} \vec{e}_{Hr} = \frac{\Gamma_{\perp} E_{im}}{\eta_1} (\cos \alpha \vec{e}_x + \sin \alpha \vec{e}_z) e^{-jk_1 (x \sin \alpha - z \cos \alpha)}$$

区域1合成场:

$$\vec{E}_1 = \vec{E}_i + \vec{E}_r$$

$$E_{1y} = E_{yi} + E_{yr}$$

$$= E_{im} e^{-jk_1(x \sin \alpha + z \cos \alpha)} + \Gamma_{\perp} E_{im} e^{-jk_1(x \sin \alpha - z \cos \alpha)}$$

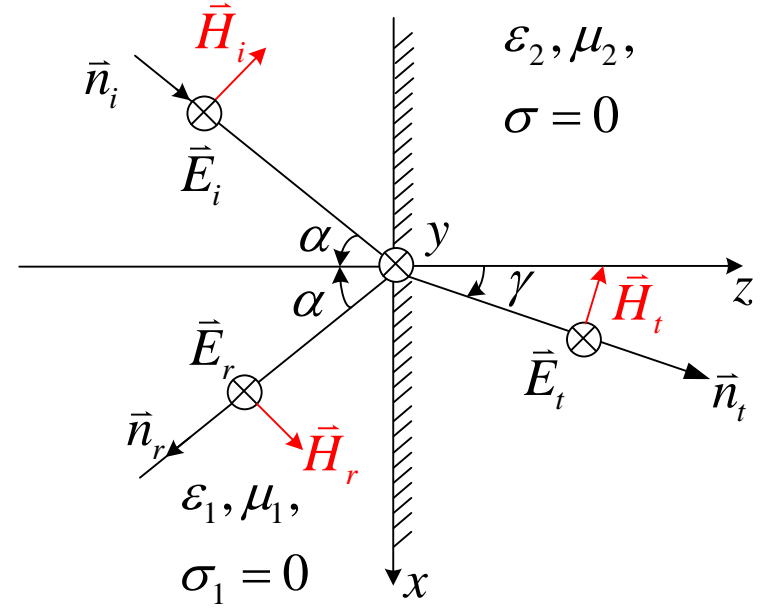
$$= E_{im} e^{-jk_1 x \sin \alpha} (e^{-jk_1 z \cos \alpha} + \Gamma_{\perp} e^{jk_1 z \cos \alpha})$$

$$\vec{H}_1 = \vec{H}_i + \vec{H}_r$$

$$H_{1x} = H_{xi} + H_{xr}$$

$$= -\frac{E_{im}}{\eta_1} \cos \alpha e^{-jk_1 x \sin \alpha} (e^{-jk_1 z \cos \alpha} - \Gamma_{\perp} e^{jk_1 z \cos \alpha})$$

$$H_{1z} = H_{zi} + H_{zr} = \frac{E_{im}}{\eta_1} \sin \alpha e^{-jk_1 x \sin \alpha} (e^{-jk_1 z \cos \alpha} + \Gamma_{\perp} e^{jk_1 z \cos \alpha})$$



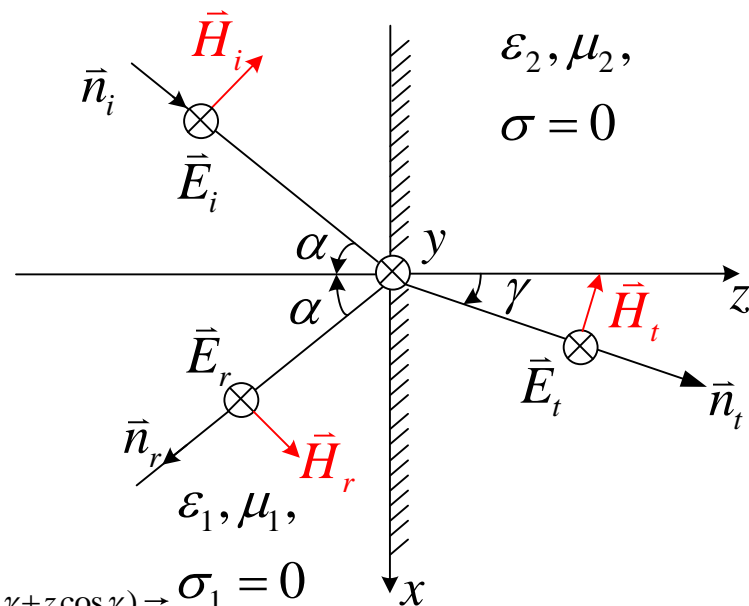
在区域2中:

$$k_2 = \omega \sqrt{\mu_2 \epsilon_2} = \frac{2\pi}{\lambda_2}$$

$$\vec{n}_t = \sin \gamma \vec{e}_x + \cos \gamma \vec{e}_z$$

$$\vec{E}_2 = \vec{E}_t = E_{yt} \vec{e}_y = E_{tm} e^{-jk_2 \vec{n}_t \cdot \vec{r}} \vec{e}_y = T_{\perp} E_{im} e^{-jk_2 (x \sin \gamma + z \cos \gamma)} \vec{e}_y \quad \sigma_1 = 0$$

$$\vec{H}_2 = \vec{H}_t = \frac{E_t}{\eta_2} \vec{e}_{H_t} = \frac{T_{\perp} E_{im}}{\eta_2} (-\cos \gamma \vec{e}_x + \sin \gamma \vec{e}_z) e^{-jk_2 (x \sin \gamma + z \cos \gamma)}$$



在理想介质的界面上:

$$\vec{n} \times (\vec{E}_1 - \vec{E}_2) \Big|_{z=0} = 0 \quad \vec{n} \times (\vec{H}_1 - \vec{H}_2) \Big|_{z=0} = 0$$

及折射定理:

$$k_1 \sin \alpha = k_2 \sin \gamma$$

$$(E_{yi} + E_{yr}) \Big|_{z=0} = E_{yt} \Big|_{z=0}$$

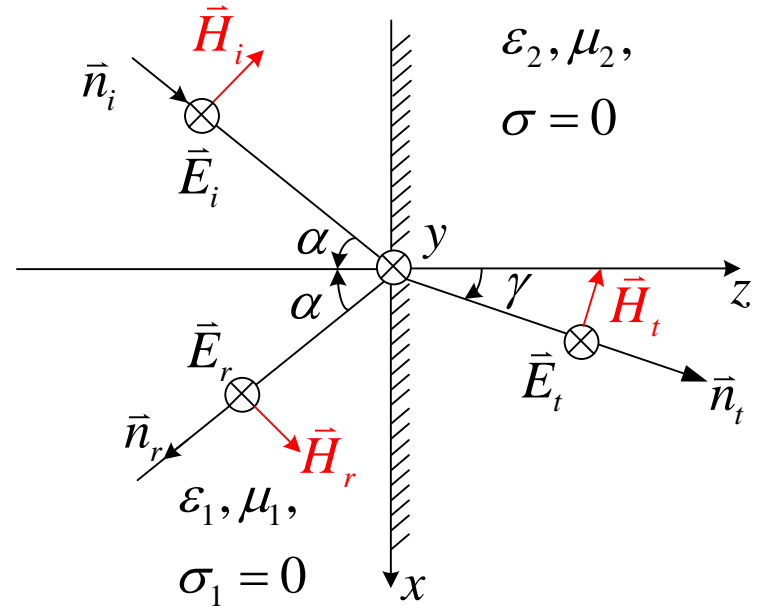
$$(H_{xi} + H_{xr}) \Big|_{z=0} = H_{xt} \Big|_{z=0}$$

$$E_{im} e^{-jk_1 x \sin \alpha} (e^{-jk_1 z \cos \alpha} + \Gamma_{\perp} e^{jk_1 z \cos \alpha}) \Big|_{z=0} = T_{\perp} E_{im} e^{-jk_2 (x \sin \gamma + z \cos \gamma)} \Big|_{z=0}$$

$$\frac{E_{im}}{\eta_1} \cos \alpha e^{-jk_1 x \sin \alpha} (e^{-jk_1 z \cos \alpha} - \Gamma_{\perp} e^{jk_1 z \cos \alpha}) \Big|_{z=0} = \frac{T_{\perp} E_{im}}{\eta_2} \cos \gamma e^{-jk_2 (x \sin \gamma + z \cos \gamma)} \Big|_{z=0}$$

$$1 + \Gamma_{\perp} = T_{\perp}$$

$$\frac{\cos \alpha}{\eta_1} (1 - \Gamma_{\perp}) = \frac{T_{\perp}}{\eta_2} \cos \gamma$$



$$\Gamma_{\perp} = \frac{\eta_2 \cos \alpha - \eta_1 \cos \gamma}{\eta_2 \cos \alpha + \eta_1 \cos \gamma}$$

$$T_{\perp} = \frac{2\eta_2 \cos \alpha}{\eta_2 \cos \alpha + \eta_1 \cos \gamma}$$

对于理想的非磁性媒质通常有： $\mu_1 = \mu_2 = \mu_0$

$$\eta_1 = \frac{120\pi}{\sqrt{\epsilon_{r1}}}$$

$$\eta_2 = \frac{120\pi}{\sqrt{\epsilon_{r2}}}$$

折射定理： $k_1 \sin \alpha = k_2 \sin \gamma$

$$\Gamma_{\perp} = \frac{\sqrt{\epsilon_{r1}} \cos \alpha - \sqrt{\epsilon_{r2}} \cos \gamma}{\sqrt{\epsilon_{r1}} \cos \alpha + \sqrt{\epsilon_{r2}} \cos \gamma} = \frac{\sin \gamma \cos \alpha - \sin \alpha \cos \gamma}{\sin \gamma \cos \alpha + \sin \alpha \cos \gamma} = \frac{\sin(\alpha - \gamma)}{\sin(\alpha + \gamma)}$$

$$T_{\perp} = \frac{2\sqrt{\epsilon_{r1}} \cos \alpha}{\sqrt{\epsilon_{r1}} \cos \alpha + \sqrt{\epsilon_{r2}} \cos \gamma} = \frac{2 \sin \gamma \cos \alpha}{\sin \gamma \cos \alpha + \sin \alpha \cos \gamma} = \frac{2 \sin \gamma \cos \alpha}{\sin(\alpha + \gamma)}$$

用入射角 α 表示折射角 γ , [$\sqrt{\varepsilon_{r1}} \sin \alpha = \sqrt{\varepsilon_{r2}} \sin \gamma$]

$$\cos \gamma = \sqrt{1 - \sin^2 \gamma} = \sqrt{\frac{\varepsilon_{r2} - \varepsilon_{r1} \sin^2 \alpha}{\varepsilon_{r2}}}$$

用入射角 α 表示的反射系数和透射系数:

$$\Gamma_{\perp} = \frac{\sqrt{\varepsilon_{r1}} \cos \alpha - \sqrt{\varepsilon_{r2} - \varepsilon_{r1} \sin^2 \alpha}}{\sqrt{\varepsilon_{r1}} \cos \alpha + \sqrt{\varepsilon_{r2} - \varepsilon_{r1} \sin^2 \alpha}} = \frac{\cos \alpha - \sqrt{\varepsilon_{r2} / \varepsilon_{r1} - \sin^2 \alpha}}{\cos \alpha + \sqrt{\varepsilon_{r2} / \varepsilon_{r1} - \sin^2 \alpha}}$$

$$T_{\perp} = \frac{2\sqrt{\varepsilon_{r1}} \cos \alpha}{\sqrt{\varepsilon_{r1}} \cos \alpha + \sqrt{\varepsilon_{r2} - \varepsilon_{r1} \sin^2 \alpha}} = \frac{2 \cos \alpha}{\cos \alpha + \sqrt{\varepsilon_{r2} / \varepsilon_{r1} - \sin^2 \alpha}}$$

讨论： **(1) 全反射情况** $|\Gamma_{\perp}|=1$

$$(\cos \alpha + \sqrt{\varepsilon_{r2} / \varepsilon_{r1} - \sin^2 \alpha})^2 = (\cos \alpha - \sqrt{\varepsilon_{r2} / \varepsilon_{r1} - \sin^2 \alpha})^2$$

$$\cancel{\alpha_c = 90^\circ} \quad (\text{无效解})$$

$$\sin \alpha_c = \sqrt{\frac{\varepsilon_{r2}}{\varepsilon_{r1}}}$$

垂直极化波斜入射，全反射情况出现在由光密媒质向光疏媒质斜入射，且入射角大于临界角时。

(2) 全透射情况 $|\Gamma_{\perp}|=0$

$$\cos \alpha - \sqrt{\varepsilon_{r2} / \varepsilon_{r1} - \sin^2 \alpha} = 0$$

$$\varepsilon_{r2} = \varepsilon_{r1}$$

垂直极化波斜入射，不会出现全透射现象。

特别是当由自由空间（空气）向理想介质斜入射时，不会出现全反射现象。

$$\varepsilon_{r1} = 1 \quad \varepsilon_{r2} = \varepsilon_r$$

$$\Gamma_{\perp} = \frac{\cos \alpha - \sqrt{\varepsilon_r - \sin^2 \alpha}}{\cos \alpha + \sqrt{\varepsilon_r - \sin^2 \alpha}} \quad T_{\perp} = \frac{2 \cos \alpha}{\cos \alpha + \sqrt{\varepsilon_r - \sin^2 \alpha}}$$

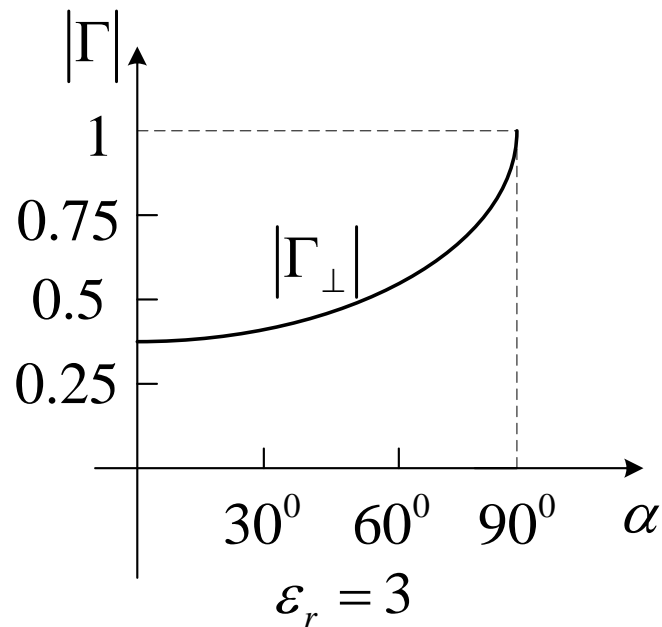
垂直极化波斜入射时，仅当 $\alpha = 0^\circ$ 时（垂直入射），其反射系数的绝对值才最小：

$$|\Gamma_{\perp}|_{\min} = \left| \frac{\sqrt{\varepsilon_r} - 1}{\sqrt{\varepsilon_r} + 1} \right|, \quad T_{\perp} = \frac{2}{\sqrt{\varepsilon_r} + 1}$$

且仅当 $\alpha = 90^\circ$ 时，反射系数的绝对值才最大：

$$|\Gamma_{\perp}|_{\max} = 1, \quad T_{\perp} = 0$$

垂直极化波由自由空间向理想介质斜入射时，当 $0^\circ < \alpha < 90^\circ$ 时，一般既不会出现全反射情况，也不会出现全透射。 $|\Gamma|$ 随 α 的变化曲线如图所示（设 $\varepsilon_r = 3$ ）



2. 平行极化波的斜入射

$$\vec{n}_i = \sin \alpha \vec{e}_x + \cos \alpha \vec{e}_z$$

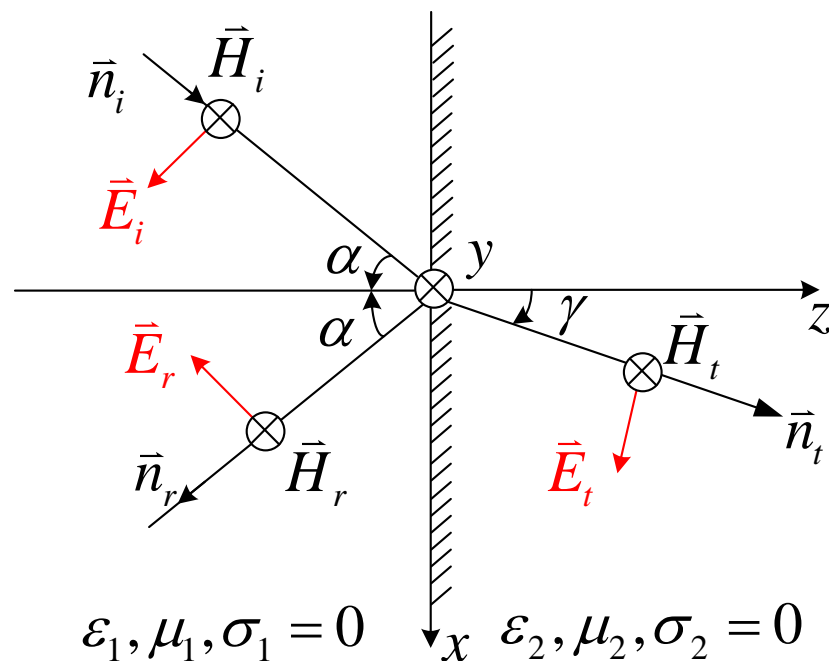
$$\vec{n}_r = \sin \alpha \vec{e}_x - \cos \alpha \vec{e}_z$$

$$\vec{n}_t = \sin \gamma \vec{e}_x + \cos \gamma \vec{e}_z$$

$$\vec{e}_{Ei} = \cos \alpha \vec{e}_x - \sin \alpha \vec{e}_z$$

$$\vec{e}_{Er} = -\cos \alpha \vec{e}_x - \sin \alpha \vec{e}_z$$

$$\vec{e}_{Et} = \cos \gamma \vec{e}_x - \sin \gamma \vec{e}_z$$



设媒质界面的反射系数为

$$\Gamma_{//} = \frac{E_{rm}}{E_{im}}$$

媒质交界面的透射系数为

$$T_{//} = \frac{E_{tm}}{E_{im}}$$

在区域1中: $k_1 = \omega\sqrt{\mu_1\varepsilon_1} = \frac{2\pi}{\lambda_1}$

$$\vec{E}_i = E_{im} e^{-jk_1 \vec{n}_i \cdot \vec{r}} \vec{e}_{Ei} = E_{im} (\cos \alpha \vec{e}_x - \sin \alpha \vec{e}_z) e^{-jk_1 (x \sin \alpha + z \cos \alpha)}$$

$$\vec{H}_i = \frac{E_i}{\eta_1} \vec{e}_y = \frac{E_{im}}{\eta_1} e^{-jk_1 (x \sin \alpha + z \cos \alpha)} \vec{e}_y$$

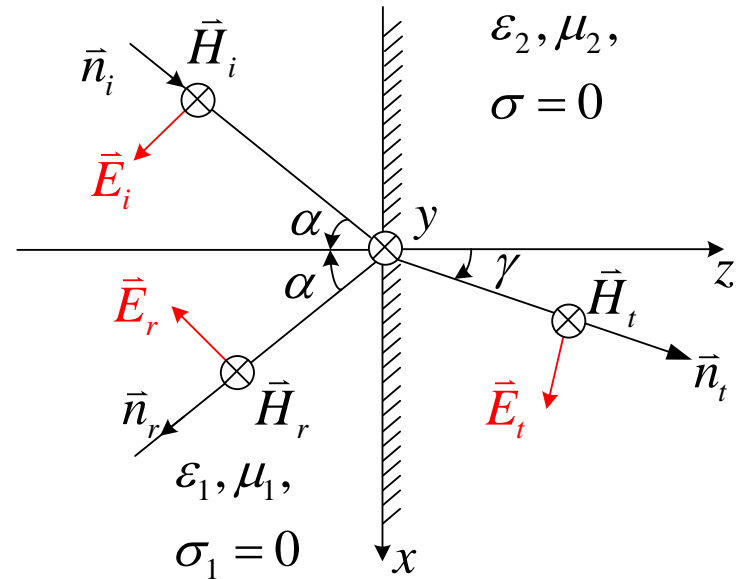
$$\vec{E}_r = \Gamma_{//} E_{im} e^{-jk_1 \vec{n}_r \cdot \vec{r}} \vec{e}_{Er} = \Gamma_{//} E_{im} (-\cos \alpha \vec{e}_x - \sin \alpha \vec{e}_z) e^{-jk_1 (x \sin \alpha + z \cos \alpha)}$$

$$\vec{H}_r = \frac{E_r}{\eta_1} \vec{e}_y = \frac{\Gamma_{//} E_{im}}{\eta_1} e^{-jk_1 (x \sin \alpha + z \cos \alpha)} \vec{e}_y$$

在区域2中: $k_2 = \omega\sqrt{\mu_2\varepsilon_2} = \frac{2\pi}{\lambda_2}$

$$\begin{aligned} \vec{E}_2 &= \vec{E}_t = T_{//} E_{im} e^{-jk_1 \vec{n}_t \cdot \vec{r}} \vec{e}_{Et} \\ &= T_{//} E_{im} (\cos \gamma \vec{e}_x - \sin \gamma \vec{e}_z) e^{-jk_2 (x \sin \gamma + z \cos \gamma)} \end{aligned}$$

$$\vec{H}_2 = \vec{H}_t = \frac{T_{//} E_{im}}{\eta_2} e^{-jk_1 \vec{n}_t \cdot \vec{r}} \vec{e}_y = \frac{T_{//} E_{im}}{\eta_2} e^{-jk_2 (x \sin \gamma + z \cos \gamma)} \vec{e}_y$$



在理想介质的界面上：

$$\vec{n} \times (\vec{E}_1 - \vec{E}_2) \Big|_{z=0} = 0$$

$$\vec{n} \times (\vec{H}_1 - \vec{H}_2) \Big|_{z=0} = 0$$

及折射定理：

$$k_1 \sin \alpha = k_2 \sin \gamma$$

$$(E_{xi} + E_{xr}) \Big|_{z=0} = E_{xt} \Big|_{z=0}$$

$$(H_{yi} + H_{yr}) \Big|_{z=0} = H_{yt} \Big|_{z=0}$$

$$\cos \alpha (1 - \Gamma_{//}) = \cos \gamma T_{//}$$

$$\frac{1}{\eta_1} (1 + \Gamma_{//}) = \frac{1}{\eta_2} T_{//}$$

$$\Gamma_{//} = \frac{\eta_1 \cos \alpha - \eta_2 \cos \gamma}{\eta_1 \cos \alpha + \eta_2 \cos \gamma}$$

$$T_{//} = \frac{2\eta_2 \cos \alpha}{\eta_1 \cos \alpha + \eta_2 \cos \gamma}$$

对于理想的非磁性媒质通常有： $\mu_1 = \mu_2 = \mu_0$

$$\eta_1 = \frac{120\pi}{\sqrt{\epsilon_{r1}}} \quad \eta_2 = \frac{120\pi}{\sqrt{\epsilon_{r2}}} \quad \sqrt{\epsilon_{r1}} \sin \alpha = \sqrt{\epsilon_{r2}} \sin \gamma$$

$$\begin{aligned} \Gamma_{//} &= \frac{\sqrt{\epsilon_{r2}} \cos \alpha - \sqrt{\epsilon_{r1}} \cos \gamma}{\sqrt{\epsilon_{r2}} \cos \alpha + \sqrt{\epsilon_{r1}} \cos \gamma} = \frac{\sin \alpha \cos \alpha - \sin \gamma \cos \gamma}{\sin \alpha \cos \alpha + \sin \gamma \cos \gamma} \\ &= \frac{\sin 2\alpha - \sin 2\gamma}{\sin 2\alpha + \sin 2\gamma} = \frac{2 \cos(\alpha + \gamma) \sin(\alpha - \gamma)}{2 \sin(\alpha + \gamma) \cos(\alpha - \gamma)} = \frac{\tan(\alpha - \gamma)}{\tan(\alpha + \gamma)} \end{aligned}$$

$$\begin{aligned} T_{//} &= \frac{2\sqrt{\epsilon_{r1}} \cos \alpha}{\sqrt{\epsilon_{r2}} \cos \alpha + \sqrt{\epsilon_{r1}} \cos \gamma} = \frac{2 \sin \gamma \cos \alpha}{\sin \alpha \cos \alpha + \sin \gamma \cos \gamma} \\ &= \frac{2 \sin \gamma \cos \alpha}{\sin(\alpha + \gamma) \cos(\alpha - \gamma)} \end{aligned}$$

用入射角 α 表示折射角 γ

$$\cos \gamma = \sqrt{1 - \sin^2 \gamma} = \sqrt{\frac{\epsilon_{r2} - \epsilon_{r1} \sin^2 \alpha}{\epsilon_{r2}}}$$

用入射角 α 表示的反射系数和透射系数：

$$\Gamma_{//} = \frac{\sqrt{\epsilon_{r2}} \cos \alpha - \sqrt{\epsilon_{r1}} \sqrt{1 - \frac{\epsilon_{r1}}{\epsilon_{r2}} \sin^2 \alpha}}{\sqrt{\epsilon_{r2}} \cos \alpha + \sqrt{\epsilon_{r1}} \sqrt{1 - \frac{\epsilon_{r1}}{\epsilon_{r2}} \sin^2 \alpha}}$$

$$T_{//} = \frac{2\sqrt{\epsilon_{r1}} \cos \alpha}{\sqrt{\epsilon_{r2}} \cos \alpha + \sqrt{\epsilon_{r1}} \sqrt{1 - \frac{\epsilon_{r1}}{\epsilon_{r2}} \sin^2 \alpha}}$$

讨论: (1) 全反射情况 $|\Gamma_{//}|=1$

$$\sqrt{\epsilon_{r2}} \cos \alpha - \sqrt{\epsilon_{r1}} \sqrt{1 - \frac{\epsilon_{r1}}{\epsilon_{r2}} \sin^2 \alpha} = \pm \left(\sqrt{\epsilon_{r2}} \cos \alpha + \sqrt{\epsilon_{r1}} \sqrt{1 - \frac{\epsilon_{r1}}{\epsilon_{r2}} \sin^2 \alpha} \right)$$

$$\sqrt{\epsilon_{r2} / \epsilon_{r1} - \sin^2 \alpha} = 0 \quad (\text{取} + \text{号})$$

$$\cos \alpha = 0 \quad (\text{取} - \text{号})$$

$$\alpha_c = 90^\circ \quad \sin \alpha_c = \sqrt{\frac{\epsilon_{r2}}{\epsilon_{r1}}}$$

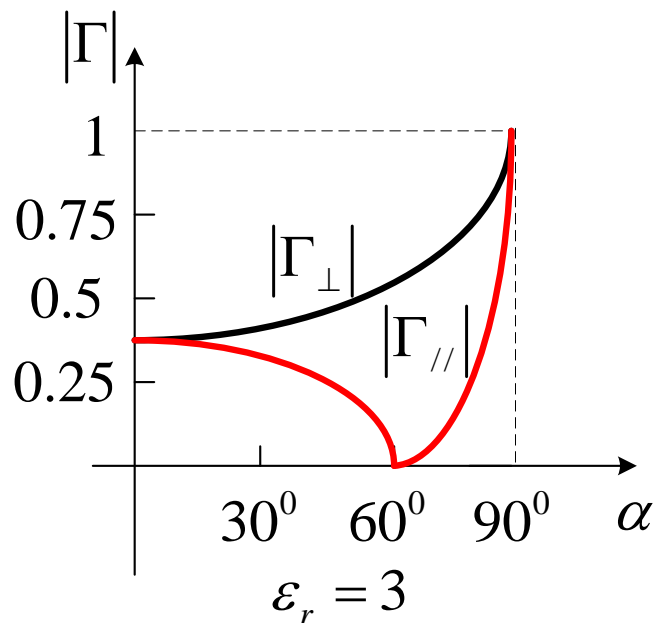
平行极化波斜入射，全反射情况出现在由光密媒质向光疏媒质斜入射，且入射角大于临界角时。

当由自由空间（空气）向理想介质斜入射时，不会出现全反射现象。

设 $\varepsilon_{r1} = 1, \varepsilon_{r2} = 3$

$$|\Gamma_{//}|_{\alpha=0} = \frac{\sqrt{3}-1}{\sqrt{3}+1} = 0.27, \quad |\Gamma_{//}|_{\alpha=90} = 1$$

$|\Gamma_{//}|$ 随 α 的变化曲线如图所示



(2) 全透射情况

$$|\Gamma_{//}| = 0$$

$$\sqrt{\epsilon_{r2}} \cos \alpha - \sqrt{\epsilon_{r1}} \sqrt{1 - \frac{\epsilon_{r1}}{\epsilon_{r2}} \sin^2 \alpha} = 0$$

$$\epsilon_{r2} \cos^2 \alpha = \epsilon_{r1} - \frac{\epsilon_{r1}^2}{\epsilon_{r2}} \sin^2 \alpha$$

$$\sin \alpha_p = \sqrt{\frac{\epsilon_{r2}}{\epsilon_{r1} + \epsilon_{r2}}} \quad \alpha_p \text{ 为极化角（或布鲁斯特角 Brewster angle）}$$

平行极化波斜入射，会出现全透射现象。

$$\alpha_p = \sin^{-1} \sqrt{\frac{\epsilon_{r2}}{\epsilon_{r1} + \epsilon_{r2}}} = \cos^{-1} \sqrt{\frac{\epsilon_{r1}}{\epsilon_{r1} + \epsilon_{r2}}} = \tan^{-1} \sqrt{\frac{\epsilon_{r2}}{\epsilon_{r1}}}$$

说明:

1: 极化方式不同, 反射, 透射特性不同

2: 平行极化波斜入射, 存在一个全透射角 α_p , 称其为极化角 (或布鲁斯特角 **Brewster angle**)。当 $\alpha = \alpha_p$ 时, 媒质1中的平行极化波全部透入媒质2, 媒质1中无反射波, 称此为全透射现象。

$$\alpha_p = \tan^{-1} \sqrt{\frac{\epsilon_{r2}}{\epsilon_{r1}}}$$

3: 当从自由空间 (空气) 向理想介质斜入射时, 垂直和平行极化波均不会出现全反射现象。仅在 $\alpha = 90^\circ$ 平行于介质界面入射时, 才会出现全反射现象。

4: 无论水平极化还是垂直极化, 当波由光密媒质斜入射到光疏媒质时, 均存在一个临界角 α_c , 当 $\alpha > \alpha_c$ 时, 发生全反射, 此时没有功率透入区域2。

例4-4. 圆极化均匀平面电磁波由 $\mu_r = 1, \varepsilon_r = 3$ 的理想介质斜入射到它与空气的界面 ($z=0$) 上, 试求, 当入射角为何值时反射波为线极化波; 又当入射角为何值时将发生全反射。

小结

1、向理想导体界面的斜入射（全反射无透射）

垂直极化

$$\Gamma_{\perp} = -1$$

沿 x 方向是行波且 $v_{px} > v$

沿 z 方向是驻波

含有传播方向（ x ）的场分量 H_x

非**TEM**波，导行波

横电波，**TE**波（ E_y ）

纵磁波，**H**波（ H_x ）

平行极化

$$\Gamma_{//} = 1$$

沿 x 方向是行波且 $v_{px} > v$

沿 z 方向是驻波

含有传播方向（ x ）的场分量 E_x

非**TEM**波，导行波

横磁波，**TM**波（ H_y ）

纵电波，**E**波（ E_x ）

2、向理想介质界面的斜入射（部分反射，部分透射）

垂直极化
(没有全透射现象)

$$\begin{cases} \Gamma_{\perp} = \frac{\eta_2 \cos \alpha - \eta_1 \cos \gamma}{\eta_2 \cos \alpha + \eta_1 \cos \gamma} \\ T_{\perp} = \frac{2\eta_2 \cos \alpha}{\eta_2 \cos \alpha + \eta_1 \cos \gamma} \end{cases}$$

平行极化
(以极化角 α_p 斜入射时
有全透射现象)

$$\begin{cases} \Gamma_{//} = \frac{\eta_1 \cos \alpha - \eta_2 \cos \gamma}{\eta_1 \cos \alpha + \eta_2 \cos \gamma} \\ T_{//} = \frac{2\eta_2 \cos \alpha}{\eta_1 \cos \alpha + \eta_2 \cos \gamma} \end{cases}$$

全透射，极化角（布鲁斯特角）

$$\alpha_p = \tan^{-1} \sqrt{\frac{\epsilon_{r2}}{\epsilon_{r1}}}$$

2、向理想介质界面的斜入射（部分反射，部分透射）

由光密媒质向光疏媒质斜入射（ $\alpha > \alpha_c$ ）时，都会出现全反射现象。

全反射，临界角 $\alpha_c = \sin^{-1} \sqrt{\frac{\epsilon_{r2}}{\epsilon_{r1}}}$

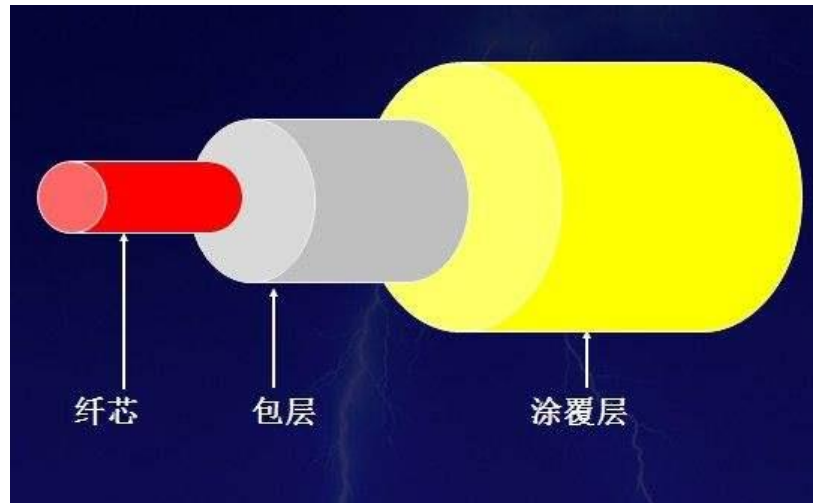
全反射时，垂直极化波：**TE**导行波，**H**波。

全反射时，平行极化波：**TM**导行波，**E**波。

显然极化方式不同，反、透射特性也不同。

3、全反射的应用——光纤（海底电缆）

- ◆ 中心部分用介电常数较大的介质制成，称为核；核外部是介电常数较小的介质涂层，以满足产生全反射的条件，最外层涂上吸收材料从而形成无反射条件。



光纤：<https://haokan.baidu.com/v?pd=wisenatural&vid=4690111558832467756>